11. 패널식 옹벽 11

11.1 시설물 개요
11.2 자료수집 및 분석
11.3 현장조사
11.4 콘크리트 재료시험 조사
11.5 상태평가
11.6 종합평가 및 안전등급 지정
11.7 보수·보강 및 유지관리 방안
11.8 종합결론

11. 패널식 옹벽 11

11.1 시설물 개요

본 시설물은 경상북도 영천시 신녕면 화남리(상주영천고속도로 62.388~62.470km)에 위치한 2종 시설물로서 연장 136.9m, 지면노출높이 7.5m의 패널식 보강토옹벽이다.

11.1.1 일반사항

【표 11.1.1】 옹벽 일반사항

시설물명	패널식 옹벽 11		종별구분	2종 시설물
시설물번호	RW2017-0000082		관리번호	SY RW11
시설물위치	행정구역	경상북도 영천시 신녕면 화남리		
	위치좌표	시점 : 36° 06′ 01.6″ 128° 75′ 91.8″		
		종점 : 36° 06′ 07.1″ 128° 76′ 11.0″		
노선명(이정)	고속국도 301호선 62.330~62.470km			
제 원	옹벽형식	보강토	옹벽재료	패널식
	연 장	136.9m	지면노출 높 이	7.5m
	보강재 길 이	–	저판폭 길 이	–
관리주체	상주영천고속도로(주)		관리주체구분	민간
주변환경	옹벽상부	상주영천고속도로 본선		
	옹벽하부	농경지		
시공현황	준공년도	2017년 06월 27일	시 공 자	경남기업㈜
	부대시설	–		
비 고				

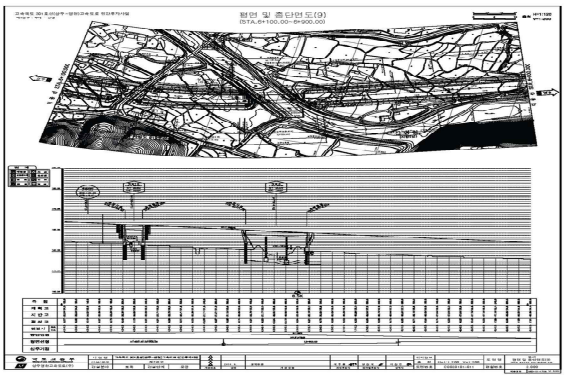

위치도

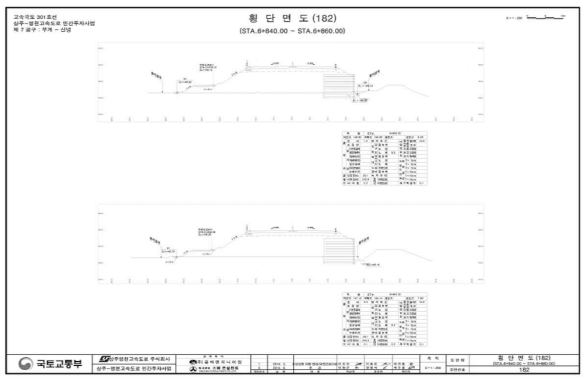

단면도

11.1.2 위치도 및 전경사진

【그림 11.1.1】 위치도

시점부 전경	종점부 전경

【사진 11.1.1】 전경사진

전면부 전경	배수로 전경
하부 전경	상부 전경
광파기를 이용한 측량 작업	경사계를 이용한 경사도 측정

【사진 11.1.2】 부재별 현황 및 작업사진

11.1.3 시설물 일반도

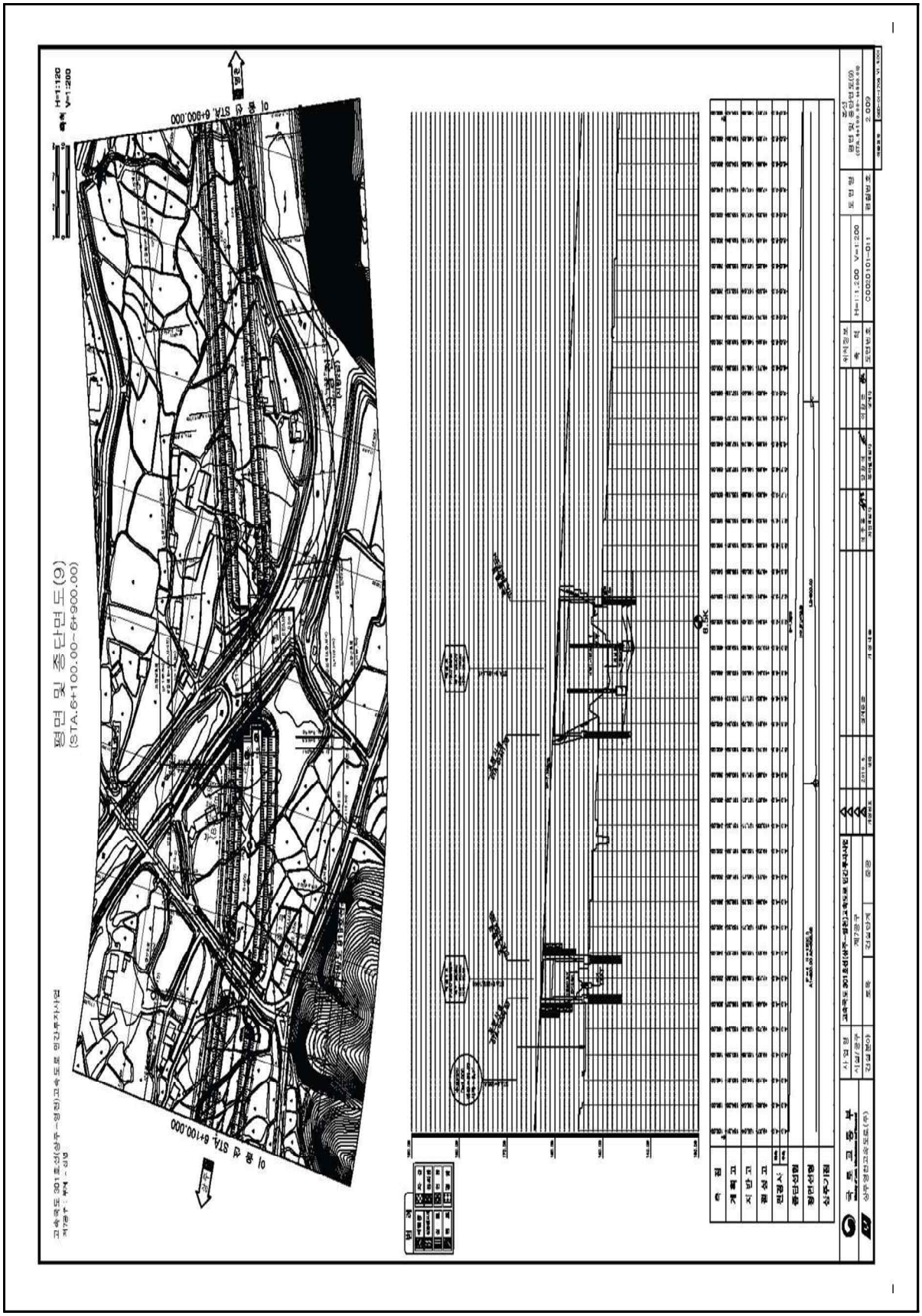

【그림 11.1.2】 종평면도

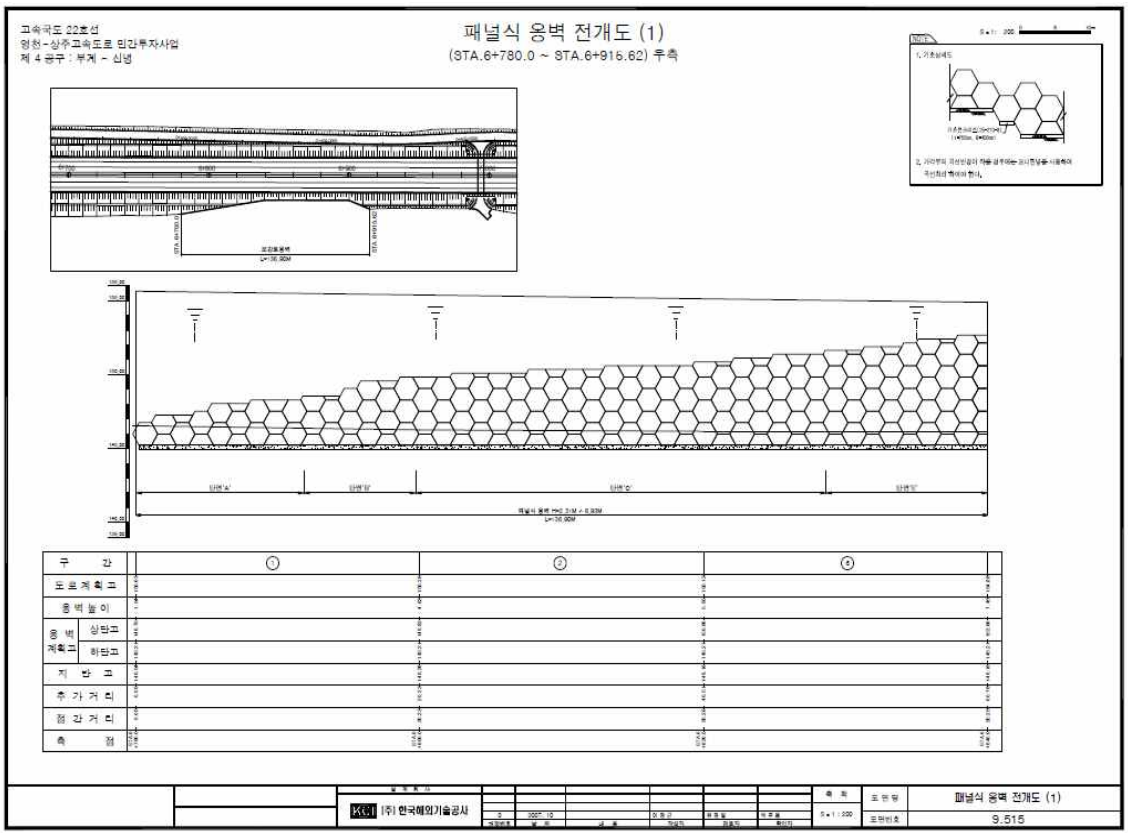
고속국도 22호선
영천-상주고속도로 민간투자사업
제 4 공구 : 부계 - 신녕
패널식 옹벽 전개도 (1)
(STA.6+780.0 ~ STA.6+915.62) 우측
구 간
도로계획고
옹벽높이
옹벽계획고
상단고
하단고
지 반 고
추 가 거 리
점 간 거 리
측 점
KCI (주) 한국해외기술공사
패널식 옹벽 전개도 (1)
9.515

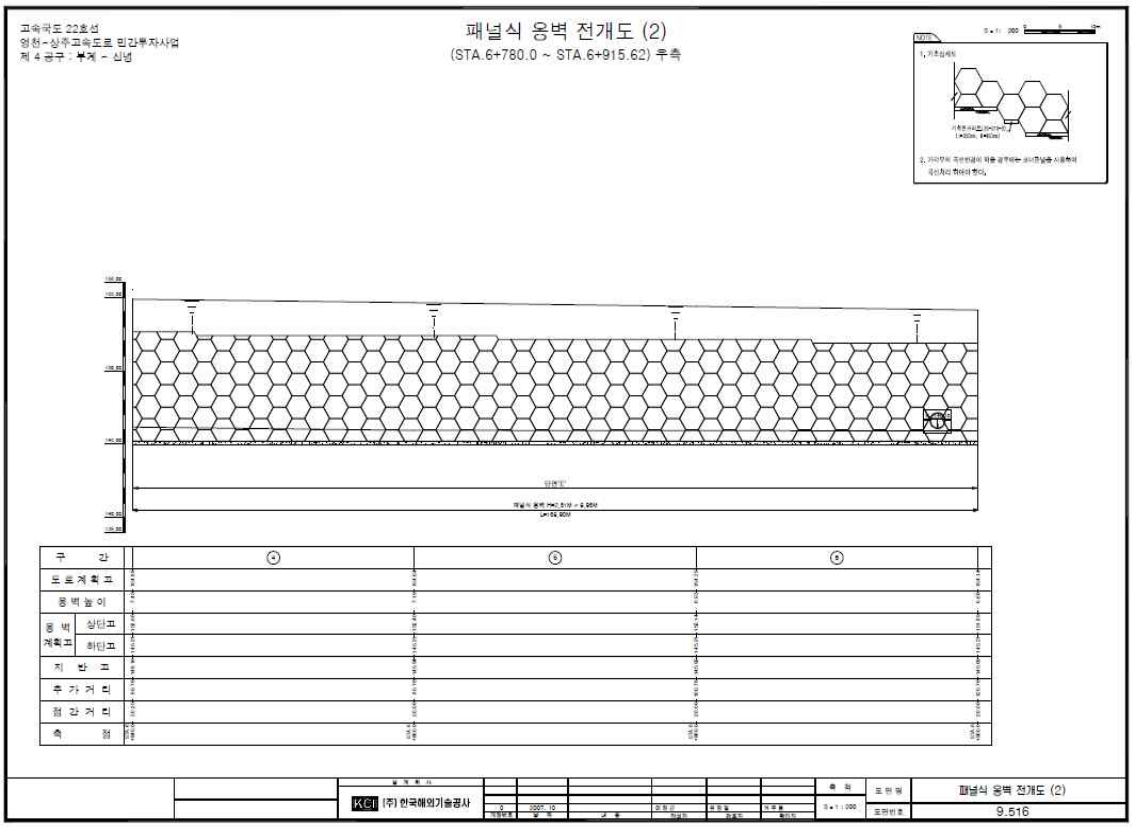
고속국도 22호선
영천-상주고속도로 민간투자사업
제 4 공구 : 부계 - 신녕
패널식 옹벽 전개도 (2)
(STA.6+780.0 ~ STA.6+915.62) 우측
구 간
도로계획고
옹벽높이
옹벽계획고
상단고
하단고
지 반 고
추 가 거 리
점 간 거 리
측 점
KCI (주) 한국해외기술공사
패널식 옹벽 전개도 (2)
9.516

【그림 11.1.3】 전개도

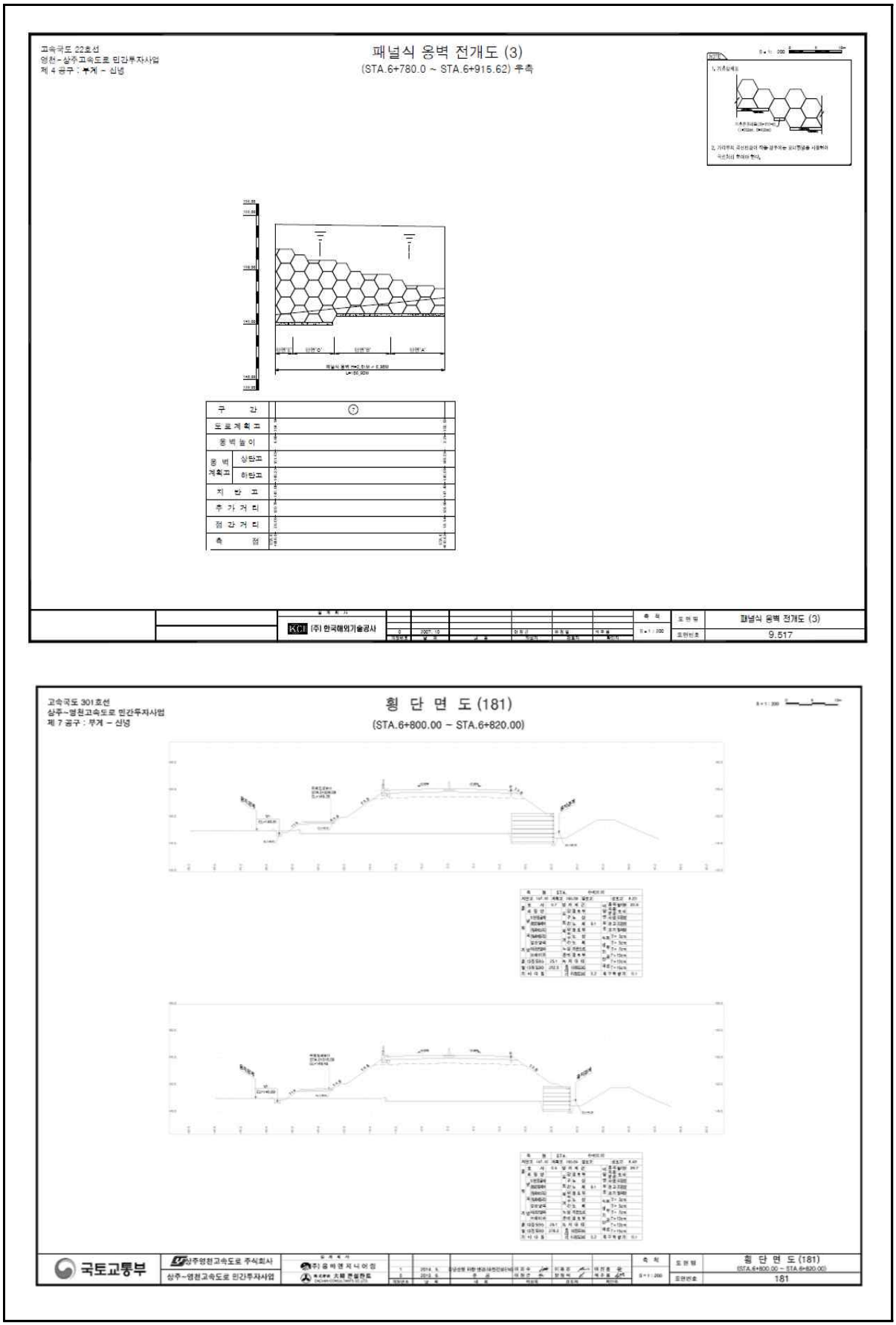

【그림 11.1.4】 전개도 및 단면도

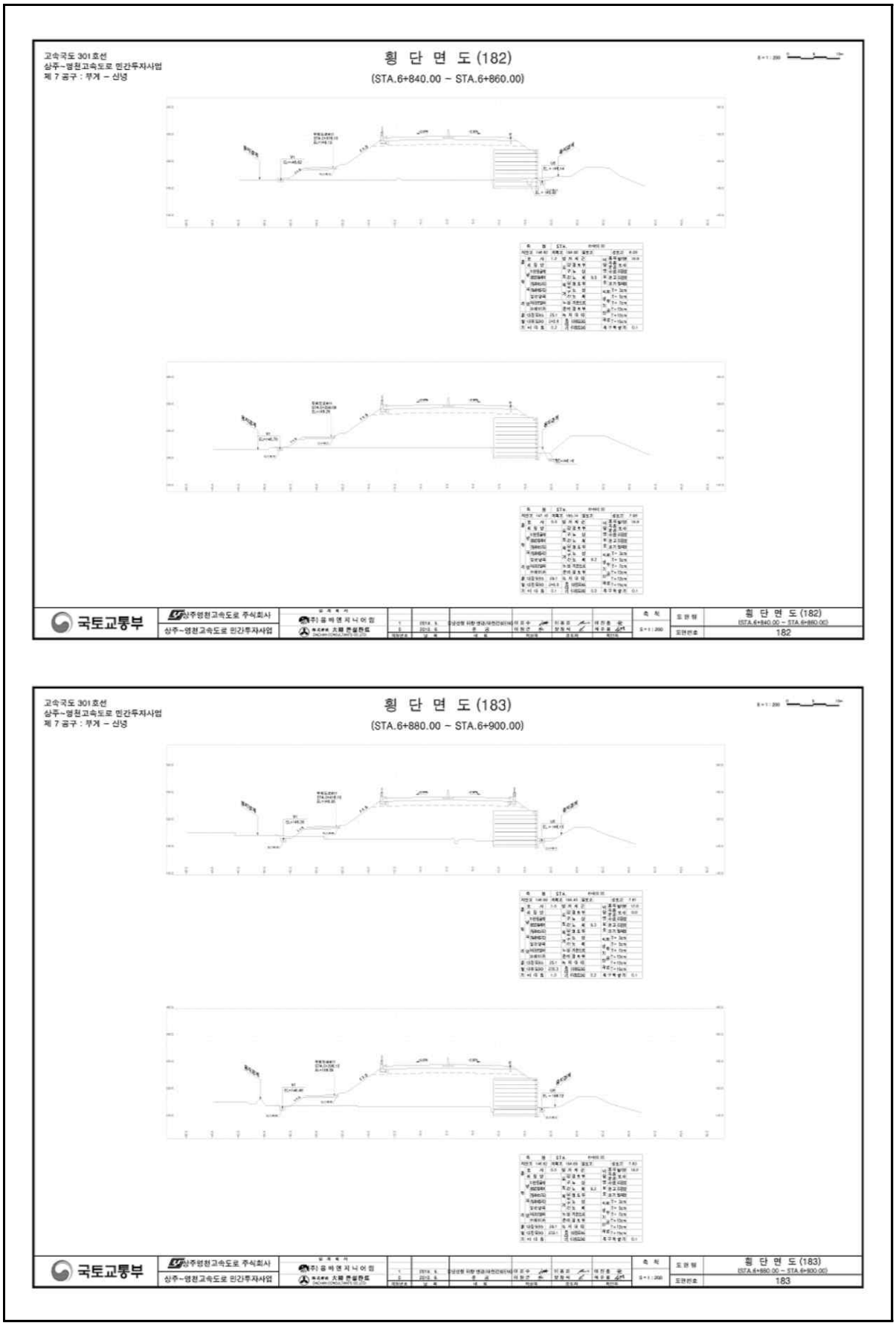
고속국도 301호선
상주~영천고속도로 민간투자사업
제 7 공구 : 부계 – 신녕
횡 단 면 도 (182)
(STA.6+840.00 ~ STA.6+860.00)
국토교통부
상주영천고속도로 주식회사
상주~영천고속도로 민간투자사업
횡 단 면 도 (182)
(STA.6+840.00 ~ STA.6+860.00)
182
고속국도 301호선
상주~영천고속도로 민간투자사업
제 7 공구 : 부계 – 신녕
횡 단 면 도 (183)
(STA.6+880.00 ~ STA.6+900.00)
국토교통부
상주영천고속도로 주식회사
상주~영천고속도로 민간투자사업
횡 단 면 도 (183)
(STA.6+880.00 ~ STA.6+900.00)
183

【그림 11.1.5】 단면도

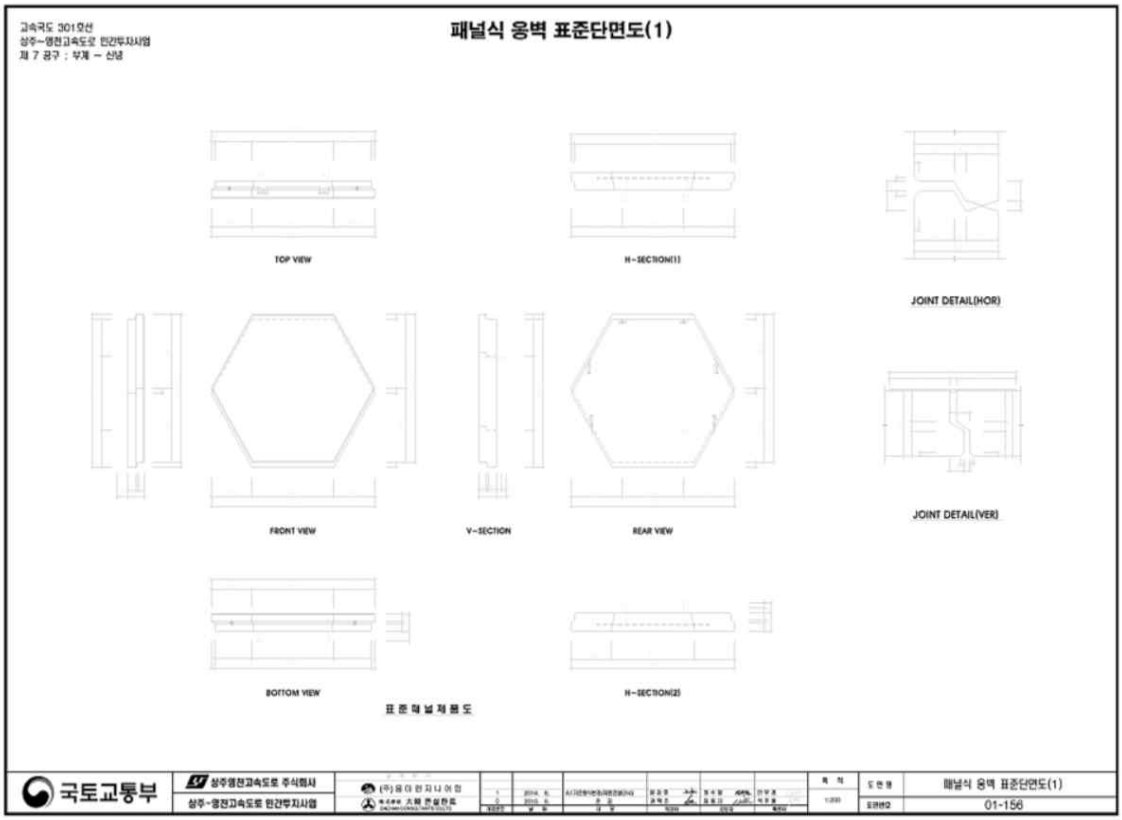

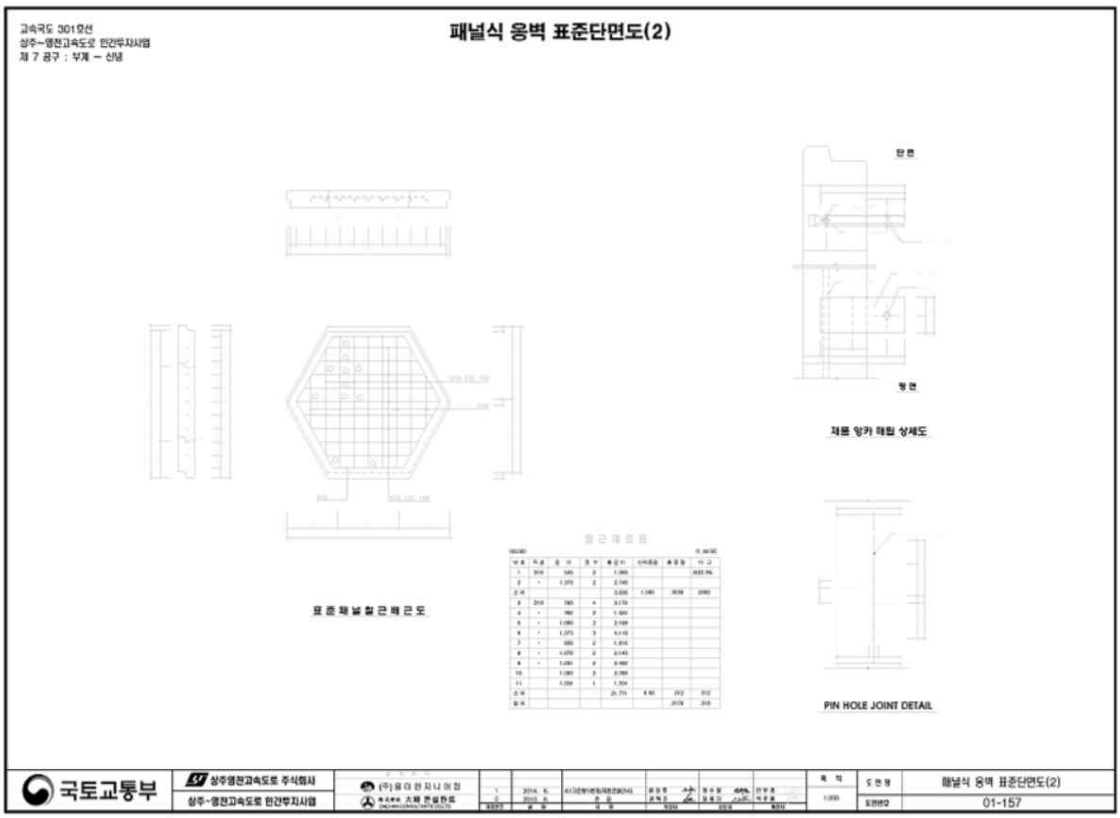

【그림 11.1.5】 단면도(계속)

11.2 자료수집 및 분석

11.2.1 설계자료 검토

본 시설물은 2017년에 준공된 시설물로 설계 및 시공관련 자료 관리 및 보관상태는 대체로 양호한 것으로 조사되었다.

구조계산서 및 안전검토서

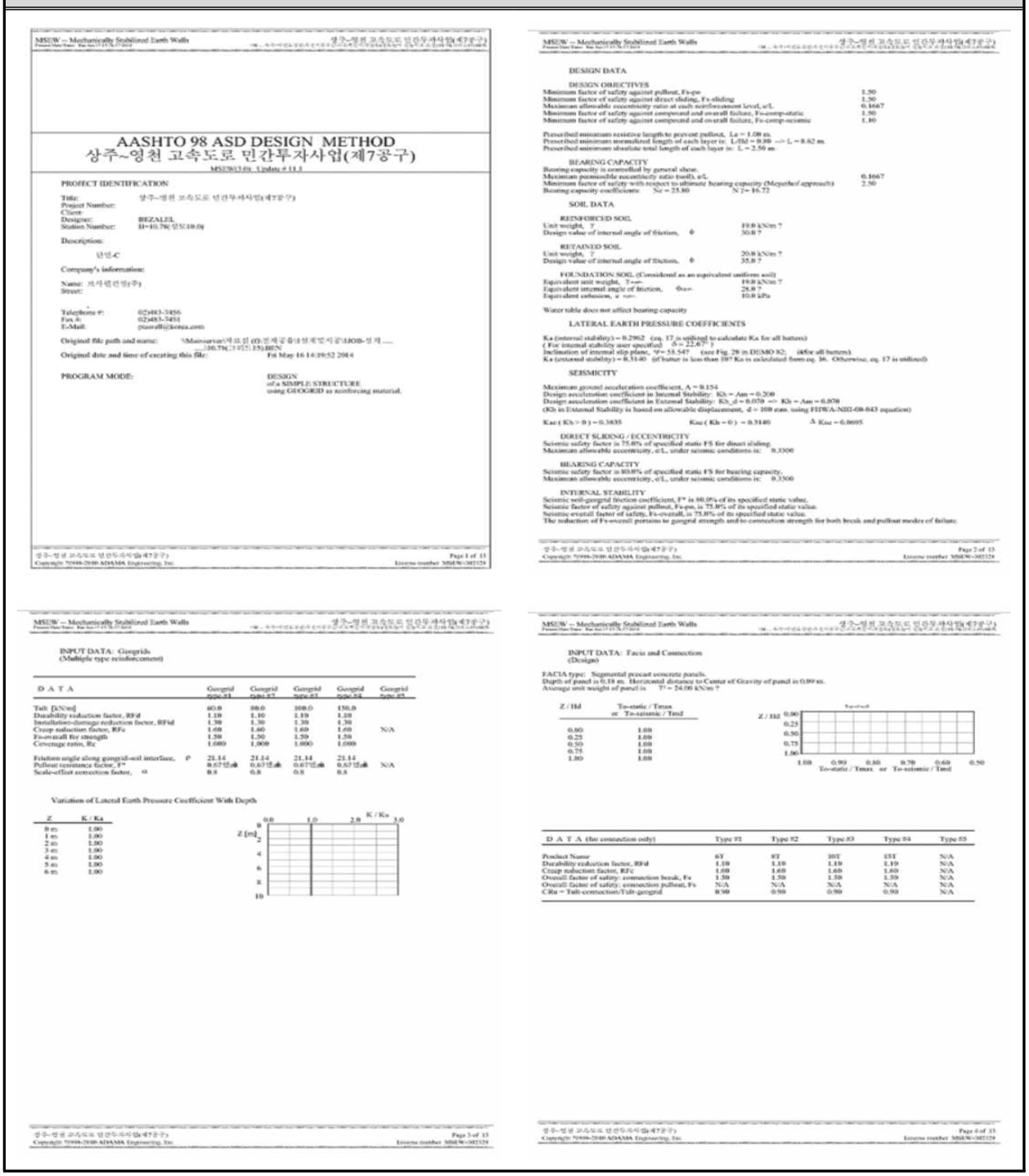

AASHTO 98 ASD DESIGN METHOD
상주~영천 고속도로 민간투자사업(제7공구)

구조계산서 및 안전검토서

MSEW -- Mechanically Stabilized Earth Walls

INPUT DATA: Geometry and Surcharge loads (of a SIMPLE STRUCTURE)

Design height, Hd 10.78 [m] [Embedded depth is E = 0.00 m, and height above top of finished bottom grade is H = 10.78 m]

Batter, θ1 0.0 [deg]
Backslope, β 18.7 [deg]
Backslope rise 10.0 [m] Broken back equivalent angle, I = 18.717 (see Fig. 25 in DEMO 82)

UNIFORM SURCHARGE
Uniformly distributed dead load is 30.0 [kPa], and live load is 15.0 [kPa]

DESIGNED REINFORCEMENT LAYOUT:

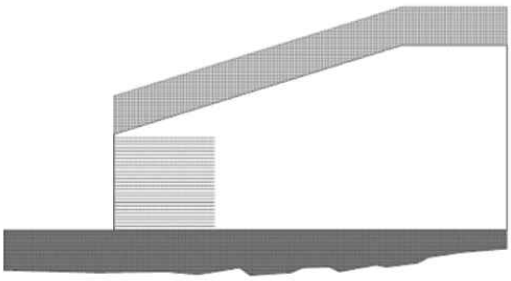

SCALE:
0 2 4 6 8 10 [m]

Page 5 of 13
Copyright ©1998-2000 ADAMA Engineering, Inc. License number MSEW-302329

MSEW -- Mechanically Stabilized Earth Walls

REINFORCEMENT LAYOUT AND DESIGN CRITERIA

LEGEND:
(1) Connection strength √ Satisfactory
(2) Geogrid strength ⊕ Unsatisfactory
(3) Pullout resistance
(4) Direct sliding
(5) Eccentricity

Bearing capacity: √
Foundation Interface: Direct sliding √ Eccentricity √

#	Geogrid Elevation [m]	Length [m]	Type #	(1)	(2)	(3)	(4)	(5)
1	0.38	10.34	4	√	√	√	√	√
2	0.77	10.34	3	√	√	√	√	√
3	1.15	10.34	3	√	√	√	√	√
4	1.54	10.34	3	√	√	√	√	√
5	1.92	10.34	3	√	√	√	√	√
6	2.31	10.34	3	√	√	√	√	√
7	2.69	10.34	3	√	√	√	√	√
8	3.08	10.34	2	√	√	√	√	√
9	3.46	10.34	2	√	√	√	√	√
10	3.85	10.34	2	√	√	√	√	√
11	4.23	10.34	2	√	√	√	√	√
12	4.62	10.34	2	√	√	√	√	√
13	5.00	10.34	2	√	√	√	√	√
14	5.39	10.34	2	√	√	√	√	√
15	5.77	10.34	2	√	√	√	√	√
16	6.16	10.34	2	√	√	√	√	√
17	6.54	10.34	2	√	√	√	√	√
18	6.93	10.34	2	√	√	√	√	√
19	7.31	10.34	2	√	√	√	√	√
20	7.70	10.34	2	√	√	√	√	√
21	8.08	10.34	2	√	√	√	√	√
22	8.47	10.34	2	√	√	√	√	√
23	8.85	10.34	2	√	√	√	√	√
24	9.24	10.34	2	√	√	√	√	√
25	9.62	10.34	2	√	√	√	√	√
26	10.01	10.34	2	√	√	√	√	√
27	10.39	10.34	2	√	√	√	√	√

Page 6 of 13
Copyright ©1998-2000 ADAMA Engineering, Inc. License number MSEW-302329

MSEW -- Mechanically Stabilized Earth Walls

BEARING CAPACITY for DESIGNED LAYOUT

	STATIC	SEISMIC	UNITS
(Water table does not affect bearing capacity)			
Ultimate bearing capacity, qult	1675.1	1572.9	[kPa]
Meyerhof stress, q1	358.29	388.4	[kPa]
Eccentricity, e	0.71	1.03	[m]
Eccentricity, e/L	0.068	0.100	
Fs calculated	4.68	4.05	
Base length	10.34	10.34	[m]

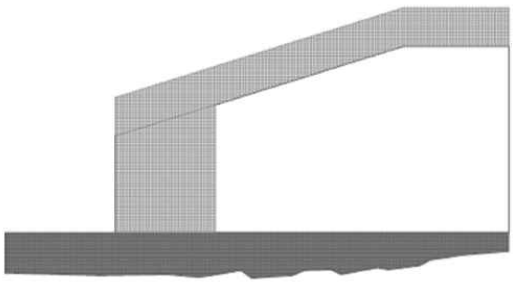

SCALE:
0 2 4 6 8 10 [m]

Page 7 of 13
Copyright ©1998-2000 ADAMA Engineering, Inc. License number MSEW-302329

MSEW -- Mechanically Stabilized Earth Walls

DIRECT SLIDING for DESIGNED LAYOUT

Specified Fs-static = 1.500 and Fs-seismic = 1.125

Along reinforced and foundation soils interface: Fs-static = 2.357 and Fs-seismic = 1.811

#	Geogrid Elevation [m]	Geogrid Length [m]	Fs Static	Fs Seismic	Geogrid Type #	Product name
1	0.38	10.34	1.502	1.266	4	35T
2	0.77	10.34	1.531	1.296	3	30T
3	1.15	10.34	1.560	1.326	3	30T
4	1.54	10.34	1.592	1.359	3	30T
5	1.92	10.34	1.625	1.393	3	30T
6	2.31	10.34	1.659	1.429	3	30T
7	2.69	10.34	1.695	1.467	3	30T
8	3.08	10.34	1.733	1.507	2	8T
9	3.46	10.34	1.771	1.549	2	8T
10	3.85	10.34	1.813	1.595	2	8T
11	4.23	10.34	1.856	1.642	2	8T
12	4.62	10.34	1.902	1.693	2	8T
13	5.00	10.34	1.950	1.747	2	8T
14	5.39	10.34	2.001	1.805	2	8T
15	5.77	10.34	2.054	1.866	2	8T
16	6.16	10.34	2.112	1.932	2	8T
17	6.54	10.34	2.171	2.001	2	8T
18	6.93	10.34	2.235	2.078	2	8T
19	7.31	10.34	2.302	2.157	2	8T
20	7.70	10.34	2.373	2.245	2	8T
21	8.08	10.34	2.451	2.336	2	8T
22	8.47	10.34	2.534	2.437	2	8T
23	8.85	10.34	2.621	2.542	2	8T
24	9.24	10.34	2.716	2.657	2	8T
25	9.62	10.34	2.816	2.776	2	8T
26	10.01	10.34	2.925	2.905	2	8T
27	10.39	10.34	3.040	3.034	2	8T

Page 8 of 13
Copyright ©1998-2000 ADAMA Engineering, Inc. License number MSEW-302329

구조계산서 및 안전검토서

MSEW -- Mechanically Stabilized Earth Walls

ECCENTRICITY for DESIGNED LAYOUT

At interface with foundation: e/L static = 0.0720, e/L seismic = 0.1037; Overturning: Fs-static = 4.17, Fs-seismic = 3.37

#	Geogrid Elevation [m]	Geogrid Length [m]	e / L Static	e / L Seismic	Geogrid Type #	Product name
1	0.38	10.34	0.0665	0.0960	4	15T
2	0.77	10.34	0.0640	0.0882	3	10T
3	1.15	10.34	0.0557	0.0808	3	10T
4	1.54	10.34	0.0503	0.0734	3	10T
5	1.92	10.34	0.0452	0.0663	3	10T
6	2.31	10.34	0.0400	0.0592	3	10T
7	2.69	10.34	0.0350	0.0524	3	10T
8	3.08	10.34	0.0299	0.0456	2	8T
9	3.46	10.34	0.0250	0.0391	2	8T
10	3.85	10.34	0.0200	0.0326	2	8T
11	4.23	10.34	0.0152	0.0264	2	8T
12	4.62	10.34	0.0103	0.0201	2	8T
13	5.00	10.34	0.0056	0.0141	2	8T
14	5.39	10.34	0.0007	0.0080	2	8T
15	5.77	10.34	-0.0040	0.0022	2	8T
16	6.16	10.34	-0.0089	-0.0037	2	8T
17	6.54	10.34	-0.0138	-0.0094	2	8T
18	6.93	10.34	-0.0188	-0.0152	2	8T
19	7.31	10.34	-0.0238	-0.0209	2	8T
20	7.70	10.34	-0.0290	-0.0269	2	8T
21	8.08	10.34	-0.0344	-0.0327	2	8T
22	8.47	10.34	-0.0401	-0.0389	2	8T
23	8.85	10.34	-0.0460	-0.0452	2	8T
24	9.24	10.34	-0.0525	-0.0521	2	8T
25	9.62	10.34	-0.0595	-0.0595	2	8T
26	10.01	10.34	-0.0675	-0.0674	2	8T
27	10.39	10.34	-0.0764	-0.0765	2	8T

Page 9 of 13
Copyright ©1998-2000 ADAMA Engineering, Inc. License number MSEW-303329

MSEW -- Mechanically Stabilized Earth Walls

RESULTS for STRENGTH Live Load included in calculating Tmax

#	Geogrid Elevation [m]	Tavailable [kN/m]	Tmax [kN/m]	Tmd [kN/m]	Specified minimum Fs-overall static	Actual calculated Fs-overall static	Specified minimum Fs-overall seismic	Actual calculated Fs-overall seismic	Product name
1	0.38	65.6	42.2	11.1	1.500	1.553	1.125	1.334	15T
2	0.77	43.7	27.3	10.5	1.500	1.660	1.125	1.284	10T
3	1.15	43.7	26.5	10.5	1.500	1.647	1.125	1.328	10T
4	1.54	43.7	25.8	10.2	1.500	1.696	1.125	1.360	10T
5	1.92	43.7	25.0	9.9	1.500	1.748	1.125	1.401	10T
6	2.31	43.7	24.2	9.6	1.500	1.804	1.125	1.445	10T
7	2.69	43.7	23.5	9.3	1.500	1.863	1.125	1.492	10T
8	3.08	35.0	22.7	9.0	1.500	1.541	1.125	1.234	8T
9	3.46	35.0	21.9	8.8	1.500	1.595	1.125	1.276	8T
10	3.85	35.0	21.2	8.5	1.500	1.653	1.125	1.322	8T
11	4.23	35.0	20.4	8.2	1.500	1.715	1.125	1.372	8T
12	4.62	35.0	19.6	7.9	1.500	1.783	1.125	1.425	8T
13	5.00	35.0	18.8	7.6	1.500	1.855	1.125	1.482	8T
14	5.39	35.0	18.1	7.3	1.500	1.935	1.125	1.545	8T
15	5.77	35.0	17.3	7.0	1.500	2.021	1.125	1.612	8T
16	6.16	35.0	16.5	6.7	1.500	2.115	1.125	1.687	8T
17	6.54	35.0	15.8	6.4	1.500	2.218	1.125	1.767	8T
18	6.93	35.0	15.0	6.1	1.500	2.332	1.125	1.857	8T
19	7.31	35.0	14.2	5.8	1.500	2.456	1.125	1.956	8T
20	7.70	35.0	13.5	5.6	1.500	2.599	1.125	2.066	8T
21	8.08	35.0	12.7	5.3	1.500	2.756	1.125	2.198	8T
22	8.47	35.0	11.9	5.0	1.500	2.934	1.125	2.327	8T
23	8.85	35.0	11.1	4.7	1.500	3.137	1.125	2.484	8T
24	9.24	35.0	10.4	4.4	1.500	3.370	1.125	2.665	8T
25	9.62	35.0	9.6	4.1	1.500	3.640	1.125	2.873	8T
26	10.01	35.0	8.8	3.8	1.500	3.957	1.125	3.117	8T
27	10.39	35.0	11.9	3.5	1.500	2.949	1.125	2.487	8T

Page 10 of 13
Copyright ©1998-2000 ADAMA Engineering, Inc. License number MSEW-303329

MSEW -- Mechanically Stabilized Earth Walls

RESULTS for PULLOUT Live Load included in calculating Tmax

NOTE: Live load is not included in calculating the overburden pressure used to assess pullout resistance.

#	Geogrid Elevation [m]	Coverage Ratio	Tmax [kN/m]	Tmd [kN/m]	Le [m] (see NOTE)	La [m]	Avail.Static Pullout, Pr [kN/m]	Specified Static Fs	Actual Static Fs	Avail.Seism. Pullout, Pr [kN/m]	Specified Seismic Fs	Actual Seismic Fs
1	0.38	1.000	42.23	11.07	10.08	0.26	1632.0	1.500	38.650	1305.6	1.125	24.496
2	0.77	1.000	27.31	10.78	9.81	0.53	1549.2	1.500	56.719	1239.3	1.125	32.535
3	1.15	1.000	26.54	10.49	9.55	0.79	1469.9	1.500	55.379	1175.9	1.125	31.751
4	1.54	1.000	25.77	10.20	9.28	1.06	1391.4	1.500	53.985	1113.1	1.125	30.943
5	1.92	1.000	25.00	9.91	9.02	1.32	1316.3	1.500	52.646	1053.1	1.125	30.160
6	2.31	1.000	24.23	9.62	8.75	1.59	1242.0	1.500	51.253	993.6	1.125	29.352
7	2.69	1.000	23.46	9.33	8.49	1.85	1171.7	1.500	49.937	937.4	1.125	28.582
8	3.08	1.000	22.69	9.04	8.23	2.11	1101.2	1.500	48.523	880.9	1.125	27.762
9	3.46	1.000	21.92	8.75	7.96	2.37	1035.0	1.500	47.209	828.0	1.125	26.993
10	3.85	1.000	21.15	8.46	7.70	2.64	968.8	1.500	45.796	775.0	1.125	26.173
11	4.23	1.000	20.38	8.17	7.44	2.90	906.8	1.500	44.484	725.4	1.125	25.404
12	4.62	1.000	19.61	7.88	7.17	3.17	844.6	1.500	43.072	675.9	1.125	24.583
13	5.00	1.000	18.84	7.59	6.91	3.43	787.0	1.500	41.763	629.6	1.125	23.817
14	5.39	1.000	18.07	7.30	6.64	3.70	729.3	1.500	40.353	583.5	1.125	22.999
15	5.77	1.000	17.30	7.01	6.38	3.96	675.7	1.500	39.046	540.5	1.125	22.232
16	6.16	1.000	16.53	6.71	6.11	4.23	622.7	1.500	37.662	498.2	1.125	21.428
17	6.54	1.000	15.76	6.43	5.85	4.49	572.8	1.500	36.336	458.3	1.125	20.649
18	6.93	1.000	14.99	6.13	5.58	4.76	524.2	1.500	34.956	419.3	1.125	19.846
19	7.31	1.000	14.22	5.85	5.32	5.02	478.5	1.500	33.635	382.8	1.125	19.069
20	7.70	1.000	13.46	5.55	5.05	5.29	434.1	1.500	32.259	347.2	1.125	18.268
21	8.08	1.000	12.69	5.27	4.79	5.55	392.5	1.500	30.945	314.0	1.125	17.493
22	8.47	1.000	11.92	4.97	4.53	5.81	352.4	1.500	29.576	281.9	1.125	16.694
23	8.85	1.000	11.15	4.69	4.26	6.07	315.1	1.500	28.271	252.1	1.125	15.922
24	9.24	1.000	10.38	4.39	4.00	6.34	279.2	1.500	26.913	223.4	1.125	15.127
25	9.62	1.000	9.61	4.11	3.74	6.60	246.4	1.500	25.648	197.1	1.125	14.375
26	10.01	1.000	8.84	3.81	3.47	6.87	214.5	1.500	24.279	171.6	1.125	13.578
27	10.39	1.000	11.86	3.52	3.21	7.13	185.8	1.500	15.671	148.7	1.125	9.664

Page 11 of 13
Copyright ©1998-2000 ADAMA Engineering, Inc. License number MSEW-303329

MSEW -- Mechanically Stabilized Earth Walls

RESULTS for CONNECTION (static conditions)
Live Load included in calculating Tmax

#	Geogrid Elevation [m]	Connection form fs [kN/m]	Reduction factor for connection break, Crbu	Reduction factor for connection pullout, Crbo	Available connection strength, To-break criterion [kN/m]	Available connection strength, To-pullout criterion [kN/m]	Available Geogrid strength, Tavailable [kN/m]	Fs-overall connection break Specified	Fs-overall connection break Actual	Fs-overall connection pullout Specified	Fs-overall connection pullout Actual	Fs-overall Geogrid strength Specified	Fs-overall Geogrid strength Actual	Product name
1	0.38	42.2	0.90	N/A	76.7	N/A	65.6	1.50	1.82	N/A	N/A	1.50	1.55	15T
2	0.77	27.3	0.90	N/A	51.1	N/A	43.7	1.50	1.87	N/A	N/A	1.50	1.60	10T
3	1.15	26.5	0.90	N/A	51.1	N/A	43.7	1.50	1.93	N/A	N/A	1.50	1.65	10T
4	1.54	25.8	0.90	N/A	51.1	N/A	43.7	1.50	1.98	N/A	N/A	1.50	1.70	10T
5	1.92	25.0	0.90	N/A	51.1	N/A	43.7	1.50	2.05	N/A	N/A	1.50	1.75	10T
6	2.31	24.2	0.90	N/A	51.1	N/A	43.7	1.50	2.11	N/A	N/A	1.50	1.80	10T
7	2.69	23.5	0.90	N/A	51.1	N/A	43.7	1.50	2.18	N/A	N/A	1.50	1.86	10T
8	3.08	22.7	0.90	N/A	40.9	N/A	35.0	1.50	1.80	N/A	N/A	1.50	1.54	8T
9	3.46	21.9	0.90	N/A	40.9	N/A	35.0	1.50	1.87	N/A	N/A	1.50	1.59	8T
10	3.85	21.2	0.90	N/A	40.9	N/A	35.0	1.50	1.93	N/A	N/A	1.50	1.65	8T
11	4.23	20.4	0.90	N/A	40.9	N/A	35.0	1.50	2.01	N/A	N/A	1.50	1.72	8T
12	4.62	19.6	0.90	N/A	40.9	N/A	35.0	1.50	2.09	N/A	N/A	1.50	1.78	8T
13	5.00	18.8	0.90	N/A	40.9	N/A	35.0	1.50	2.17	N/A	N/A	1.50	1.86	8T
14	5.39	18.1	0.90	N/A	40.9	N/A	35.0	1.50	2.26	N/A	N/A	1.50	1.93	8T
15	5.77	17.3	0.90	N/A	40.9	N/A	35.0	1.50	2.36	N/A	N/A	1.50	2.02	8T
16	6.16	16.5	0.90	N/A	40.9	N/A	35.0	1.50	2.47	N/A	N/A	1.50	2.11	8T
17	6.54	15.8	0.90	N/A	40.9	N/A	35.0	1.50	2.59	N/A	N/A	1.50	2.22	8T
18	6.93	15.0	0.90	N/A	40.9	N/A	35.0	1.50	2.73	N/A	N/A	1.50	2.33	8T
19	7.31	14.2	0.90	N/A	40.9	N/A	35.0	1.50	2.88	N/A	N/A	1.50	2.46	8T
20	7.70	13.5	0.90	N/A	40.9	N/A	35.0	1.50	3.04	N/A	N/A	1.50	2.60	8T
21	8.08	12.7	0.90	N/A	40.9	N/A	35.0	1.50	3.22	N/A	N/A	1.50	2.76	8T
22	8.47	11.9	0.90	N/A	40.9	N/A	35.0	1.50	3.43	N/A	N/A	1.50	2.93	8T
23	8.85	11.1	0.90	N/A	40.9	N/A	35.0	1.50	3.67	N/A	N/A	1.50	3.14	8T
24	9.24	10.4	0.90	N/A	40.9	N/A	35.0	1.50	3.94	N/A	N/A	1.50	3.37	8T
25	9.62	9.6	0.90	N/A	40.9	N/A	35.0	1.50	4.26	N/A	N/A	1.50	3.64	8T
26	10.01	8.8	0.90	N/A	40.9	N/A	35.0	1.50	4.63	N/A	N/A	1.50	3.96	8T
27	10.39	11.9	0.90	N/A	40.9	N/A	35.0	1.50	3.45	N/A	N/A	1.50	2.95	8T

Page 12 of 13
Copyright ©1998-2000 ADAMA Engineering, Inc. License number MSEW-303329

구조계산서 및 안전검토서

MSEW -- Mechanically Stabilized Earth Walls

RESULTS for CONNECTION (seismic conditions)
Live Load included in calculating Tmax

#	Geogrid Elevation [m]	Connection force, Tc [kN/m]	Reduction factor for connection break, CRu	Reduction factor for connection pullout, CRs	Available connection strength, Tc-break criterion [kN/m]	Available connection strength, Tc-pullout criterion [kN/m]	Available Geogrid strength, Tavailable [kN/m]	Fs-overall connection break Specified	Fs-overall connection break Actual	Fs-overall connection pullout Specified	Fs-overall connection pullout Actual	Fs-overall Geogrid strength Specified	Fs-overall Geogrid strength Actual	Product name
1	0.38	53.3	0.90	N/A	76.7	N/A	65.6	1.13	1.56	N/A	N/A	1.13	1.33	15T
2	0.77	38.1	0.90	N/A	51.1	N/A	43.7	1.13	1.50	N/A	N/A	1.13	1.28	10T
3	1.15	37.0	0.90	N/A	51.1	N/A	43.7	1.13	1.54	N/A	N/A	1.13	1.32	10T
4	1.54	36.0	0.90	N/A	51.1	N/A	43.7	1.13	1.59	N/A	N/A	1.13	1.36	10T
5	1.92	34.9	0.90	N/A	51.1	N/A	43.7	1.13	1.64	N/A	N/A	1.13	1.40	10T
6	2.31	33.9	0.90	N/A	51.1	N/A	43.7	1.13	1.69	N/A	N/A	1.13	1.45	10T
7	2.69	32.8	0.90	N/A	51.1	N/A	43.7	1.13	1.75	N/A	N/A	1.13	1.49	10T
8	3.08	31.7	0.90	N/A	40.9	N/A	35.0	1.13	1.44	N/A	N/A	1.13	1.23	8T
9	3.46	30.7	0.90	N/A	40.9	N/A	35.0	1.13	1.49	N/A	N/A	1.13	1.28	8T
10	3.85	29.6	0.90	N/A	40.9	N/A	35.0	1.13	1.55	N/A	N/A	1.13	1.32	8T
11	4.23	28.6	0.90	N/A	40.9	N/A	35.0	1.13	1.60	N/A	N/A	1.13	1.37	8T
12	4.62	27.5	0.90	N/A	40.9	N/A	35.0	1.13	1.67	N/A	N/A	1.13	1.43	8T
13	5.00	26.4	0.90	N/A	40.9	N/A	35.0	1.13	1.73	N/A	N/A	1.13	1.48	8T
14	5.39	25.4	0.90	N/A	40.9	N/A	35.0	1.13	1.81	N/A	N/A	1.13	1.54	8T
15	5.77	24.3	0.90	N/A	40.9	N/A	35.0	1.13	1.89	N/A	N/A	1.13	1.61	8T
16	6.16	23.2	0.90	N/A	40.9	N/A	35.0	1.13	1.97	N/A	N/A	1.13	1.69	8T
17	6.54	22.2	0.90	N/A	40.9	N/A	35.0	1.13	2.07	N/A	N/A	1.13	1.77	8T
18	6.93	21.1	0.90	N/A	40.9	N/A	35.0	1.13	2.17	N/A	N/A	1.13	1.86	8T
19	7.31	20.1	0.90	N/A	40.9	N/A	35.0	1.13	2.29	N/A	N/A	1.13	1.96	8T
20	7.70	19.0	0.90	N/A	40.9	N/A	35.0	1.13	2.42	N/A	N/A	1.13	2.07	8T
21	8.08	18.0	0.90	N/A	40.9	N/A	35.0	1.13	2.56	N/A	N/A	1.13	2.19	8T
22	8.47	16.9	0.90	N/A	40.9	N/A	35.0	1.13	2.72	N/A	N/A	1.13	2.33	8T
23	8.85	15.8	0.90	N/A	40.9	N/A	35.0	1.13	2.91	N/A	N/A	1.13	2.48	8T
24	9.24	14.8	0.90	N/A	40.9	N/A	35.0	1.13	3.12	N/A	N/A	1.13	2.66	8T
25	9.62	13.7	0.90	N/A	40.9	N/A	35.0	1.13	3.36	N/A	N/A	1.13	2.87	8T
26	10.01	12.6	0.90	N/A	40.9	N/A	35.0	1.13	3.65	N/A	N/A	1.13	3.12	8T
27	10.39	15.4	0.90	N/A	40.9	N/A	35.0	1.13	2.91	N/A	N/A	1.13	2.49	8T

Copyright ?1999-2000 ADAMA Engineering, Inc.

지표지질조사

4.3 지표지질조사

4.3.1 지형 및 지질 특성

가. 지질 개요

- 과업지역은 백악기 경상분지의 주로 신동층과 하양층군이 분포하는 희성소분지의 남부에 위치
- 백악기 경상층군의 최하부층인 영희동층 상부로부터 최상부의 지산층까지 분포하고 있으며 경상층군 상부에 해당하는 신라이층군에는 용희암층이 협재됨

나. 지형특성

산 계	수 계
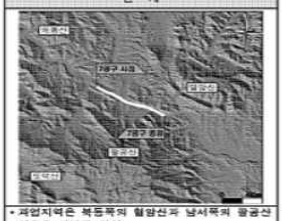	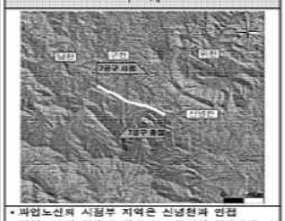
• 과업지역은 북동쪽의 협암산과 남서쪽의 팔공산 이주요 산계를 형성 • 과업노선은 협암산과 팔공산 사이의 비교적 낮은 구릉지를 따라 서북서 방향으로 위치	• 과업노선의 시점부 지역은 신녕천과 인접 • 과업노선의 북쪽에 위치하는 구천의 북쪽으로 흐르면서 노선의 중앙부와 인접하고 있으며,북서쪽에 위치하는 남천은 북서쪽으로 흐르면서 노선의 종점부와 인접

다. 분포 암종 특성

구 분	지질특성	노두사진
후평동층 구미동층원 사암	• 구미동층원 사암은 과업노선의 시점부에 주로 분포하며 담회색 또는 담황색의 사질이 우세한 이암과의 교호대가 발달 • 주구성광물은 석영, 알칼리장석, 점토광물로 구성되며, 일부층에서 역암이 산출되기도함	
후평동층 구계동층원 세암	• 과업노선 시점부의 일부구간에 분포하며, 사암과 세암의 교호대로 산출되나 대부분지역에서 세암이 우세하게 나타남 • 석영, 알칼리장석, 반해석이 주구성광물을 이룸	

구 분	지질특성	노두사진
점곡층 암회색 세암	• 과업노선의 중앙부에 분포하며, 주로 암회색 내지 흑색 세암로 구성 • 주 구성광물은 아각 내지 각상의 석영, 방해석, 유기물, 운모질 점토광물이고 부성분으로 백운모 불투명광물이 나타남	
사곡층 사질 이암	• 과업노선의 중앙부와 종점부에 넓게 분포하며, 주로 사암과 세암로 구성됨 • 석영, 알칼리장석, 점토광물이 주구성광물을 이룸	

라. 지질 계층도

지질시대			층 명	특 성	비 고
제4기			충적층(Qa)	• 하천 및 산록 퇴적물	
			-- 부정합 --		
중생대	백악기		중성암맥(Kdi) 산성암맥(Kad)	• 과상의 시멘	• 전 구간에서 기반암을 관입
			-- 관입 --		
			화강암(Kg)	• 과상의 시멘	• 분포하지 않음
			-- 관입 --		
		유천층군	안산암질암(Kat)	• 주로 응회암으로 구성	• 분포하지 않음
			-- 관입 및 분출 --		
	백악기	하양층군	신양동층(ks9)	• 암회색 이암 및 세암과 사암이 교호대	• 분포하지 않음
			손산층(ks8)	• 암회색, 녹회색, 적색 이암 및 세암 • 하부층에서 석회질 물질 다량 함유	• 분포하지 않음
			사곡층 (Ks7) — 상부 (Ks7-ms)	• 암회색, 녹회색, 적색 이암 및 세암 • 석회질 물질 함유	• 분포하지 않음
			사곡층 (Ks7) — 하부 (Ks7-ss)	• 암회색, 녹회색, 적색 이암 및 세암과 사암이 교호 • 사질부분을 다량 함유	• 8공구 시점과 7공구 종점
			점곡층(ks6)	• 암회색, 녹회색, 적색 세암 및 이암 • 주로 암회색 세암로 구성	• 7공구 중앙부
			후평동층 (Ks5) — 구계동층원 (Ks5-2)	• 사암, 미사암 및 미사질 세암 및 이암(사질 우세)	• 7공구 시점부
			후평동층 (Ks5) — 구미동층원 (Ks5-1)	• 사암, 적색 미사질 세암, 적색계 트역 및 역암(사질 우세)	• 7공구 시점부
			일직층(Ks4)	• 사암, 적색 미사질 세암, 역암 • 주로 사암이 우세	• 6공구 종점

4.3.2 영상정보를 활용한 선형 구조 분석

가. 인공위성영상 분석

(1) 목 적

- 지형 및 지질특성(단층, 절리, 암맥 등의 선구조) 파악
- 과업구간에 대한 지질분포와 단층, 절리 등에 의한 광역적인 선구조 해석

(2) 원리 및 방법

- 15m급 해상도의 Landsat-7 ETM+ 최신 위성영상을 이용하여 분석 실시
- 1/25,000 수치지도로부터 지상기준점을 추출하여 2차식에 의한 기하보정을 실시함
- 기하보정 후 과업지역만 절취하고 선명한 지형 표시를 위한 정밀한 색상 보정 실시
- 고주파통과 필터 및 소벨(sobel) 필터를 이용한 선형 강조처리를 통한 선구조 분석 실시

(3) 위성영상결과

선형공간필터링	공간필터링	위성영상 분석
		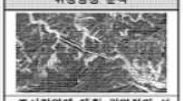
• Landsat-7 ETM+ 영상에서 선형인 요소를 강조시키기 위해 고주파 강조 선형 공간필터링 실시 • 지형적인 선구조 이외에 인공적인 선구조가 추출	• 영상 내의 지형 또는 선구조의 방향성에 관계없이 지형지물의 에지를 검출 • 선구조 육안 판독에 유용한 자료임	• 조사지역에 대한 광역적인 선구조 분석 • 선형공간필터링과 공간필터링 추출결과를 육안으로 보정하여 최종 선구조 추출

(4) 결과분석

- 과업구간의 900m 이상 되는 선구조를 추출하여, 판독한 결과 총 60개의 대 · 소 선구조 파악
- 과업지역의 주요 선구조의 방향은 N60°~70°W이며, 노선과는 3지점 이상이 교차
- N60°~70°W 방향의 대규모 선구조 선상에 위치이 노선 여러 위치에서 교차할 것으로 판단

나. 음영기복도(DEM)를 이용한 선구조 분석

(1) 목적

- 과업구간에 정밀한 선형구조 분석
- 1:25,000 수치지도에 의한 음영기복도 작성으로 선구조의 발달 방향 확인
- 선구조의 빈도 및 연장분석 등을 통한 선구조의 분포특성 파악

(2) 분석 방법 및 과정

- 선구조의 빈도 및 연장분석 등을 통한 선구조의 분포특성 파악
- Rose diagram을 사용하여 선구조의 분포방향을 통계적으로 나타냄.
- 선형구조의 연장성에 의한 가중치를 부여하여 상대적인 분포빈도를 나타냄

초기 이미지 ▶ 이미지 분석 ▶ Edge 처리 ▶ Edge 지도 ▶ Hough 변환처리 ▶ 구간 최대명역 설정 ▶ Hough 변환처리 역산 ▶ 선구조도

(3) 음영기복도(DEM)

45°방향의 광원	135°방향의 광원	225°방향의 광원	315°방향의 광원
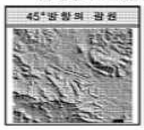	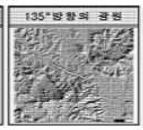	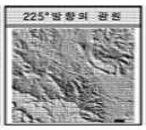	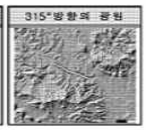

(4) 결과 분석

빈 도	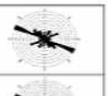
연장성	

선구조 길이 분포	선구조 방향 분포
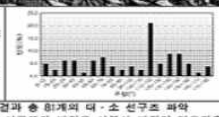	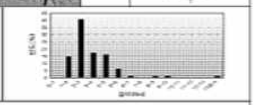

- 판독결과 총 81개의 대 · 소 선구조 파악
- 주요 선구조의 방향은 서북서 방향의 기즘단층계의 영향으로 N60°~70°W 방향
- N60°~70°W 방향의 대규모 선구조 선상에 위치해 노선 여러 위치에서 교차할 것으로 판단됨

다. 항공사진 분석

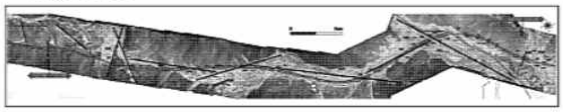

빈도	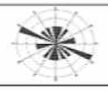
연장성	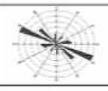

- 조사지역에 대한 정밀 선구조 분석을 위해 항공사진을 통한 분석을 실시
- 항공사진 분석을 통해 10개의 선구조 추출함
- 선구조 길이분포와 연장분포의 경과 N60°~70°W 방향이 우세하게 나타남

지표지질조사

4.3.3 과업구간 지질분포 특성

가. 과업구간 기존 지질도 분석

- 과업구간은 백악기 경상분지의 주로 신동층과 화양층군이 분포하는 외성소분지의 남부에 위치
- 이 지역의 지질은 백악기 경상층군의 최하부층인 연화동층 상부로부터 최상부의 자인층까지 분포하고 있으며 경상층군 상부에 해당하는 신라아층군에는 윤희암층이 협재
- 광역 선구조를 살펴보면 화양층군의 임적층, 후평동층, 점곡층, 사곡층, 반야월층과 송내동층의 퇴적암류와 유천층군에 속하는 화산암류 및 이들을 관입한 불국사 화강암류들이 분포

나. 상세 지표지질 조사

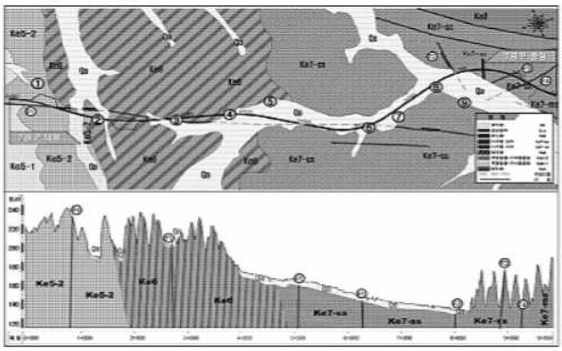

(1) 주요 노두 특성분석

노두 사진	특 성
	• 적색 및 녹회색 이암 • 층리는 N48E/16SE • 춘산층 이암과 유사한 양상을 보임 • J1=290/88, J2=182/78, J3=234/68
	• 녹회색 세암 • 주단층에 의한 층리에서의 끌림 습곡(drag fold)형성 • 주단층은 N48E/16SE, 소단층 N50W/82NE,N84E/87SE 발달 • 폭 : 80cm • 습곡 : 224/18 • 중성 암맥으로 추정되는 구조도 관찰됨
	• 암회색 이암 • 층리는 N07E/25SE • 파쇄가 심함 • 층리 교란 심함 • 단층에 의한 손상대로 추정됨 • J1=212/77, J2=131/89
	• 암회색 이암 • 층리는 N39E/21SE • J1=015/89, J2=027/89, J3=130/04
	• 녹회색 이암 • 무수적 단층 : N26E/86SE • 단층대 주변에 파쇄폭 4m로 심함 • J1=146/87, J2=317/77
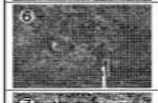	• 적색 이암 및 암회색 실트암 • 층리는 N54E/22SE • 사암층이 일부 협재 • J1=356/84, J2=292/88
	• 암회색 사암 및 이암 • 층리는 N50E/20SE • J1=152/88, J2=284/78

노두 사진	특 성
	• 적색 이암 • 층리는 N66E/52SE • J1=038/54, J2=246/88
	• 적색 이암 및 세암 • 층리는 N76W/48SW • J1=034/54, J2=108/76

(2) 암종별 현미경 관찰 및 Modal 분석 결과

임적층(사암)

- 석영, 알칼리장석, 점토광물 등으로 구성
- 담황색 내지 적색 사암과 세암로 구성

후평동층 구미동층원(사암)

- 석영, 알칼리장석, 점토광물 등으로 구성
- 구후평동층 구미동층원의 사암은 담회색 또는 담황색의 사질이 우세한 이암과 교호대가 발달

후평동층 구계동층원(세암)

- 석영, 알칼리장석, 암해석 등으로 구성
- 후평동층 구계동층원은 사암과 세암의 교호대로 산출되나 대부분의 지역에서 세암이 우세한 양상을 보임

점곡층 암회색(세암)

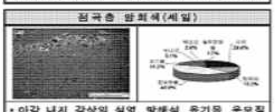

- 이각 내지 각상의 석영, 암해석, 유기물, 운모질 점토광물 및 무성문으로 백운모, 불투명 광물
- 이암내의 유기적 입흔은 계절적인 퇴적율의 공급량 또는 생물학적 생산성의 변동에 의해 형성

사곡층(사질이암)

- 석영, 알칼리장석, 점토광물로 구성
- 사곡층의 사질이암 중에는 일정한 방향성 배열을 하는 석영편이 잘 관찰

운성 암맥

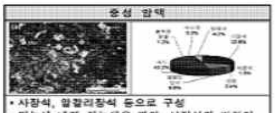

- 사장석, 알칼리장석 등으로 구성
- 담녹색 내지 회녹색을 띠며, 사장석의 반점이 10% 이상의 함량을 보이는 중성질 암맥류

4.3.4 과업구간 지질구조 분석

가. 단층구조

(1) 단층

연번	조사 방법: 지질조사	시추조사	신창조사	물리탐사	방향	연장 (km)	폭: gouge(cm)	파쇄대(m)	노선교차점 (STA.)	구분
F1	●	-	●	-	N70W/85NE	20 이상	100내외	1이하	0+770 2+640 5+030 6+220	종단층
F2	●	-	-	-	N08W/78NE	1.0 내외	1이하	3내외	7+975	소단층
F3	-	●	-	-	N85E/70NW	0.5 내외	1이하	1내외	8+940	소단층
F4	●	-	-	-	N84E/86NW	1.5 내외	1이하	0.5내외	9+250	소단층

(2) 노두특성

구 분	노두 사진	특 성
F1		• 이 단층은 신경단층으로 알려져 있으며 이의 노두 관찰에서 우수한 형압축에의 운동함을 보임. 주향이동성분이 경사이동성분보다 우세하며 단층대 인접부에서 단층과 수반된 다양한 습곡구조가 관찰됨. • 단층면의 주향/경사는 N70W/85NE • 단층gouge는 100cm 내외로 발달
F2		• 이의 조사를 통해 인지되었으며 인접부에 단층과 유사한 방향의 중성 암맥이 관입함. • 단층면의 주향/경사는 N08W/78NE, 단층gouge는 1cm이하로 발달
F3		• CB-22 시추코아에서 3m의 core loss를 보이며 단층운동과 수반된 전단단열 및 신장성단열이 관찰됨. • 단층면의 주향/경사는 N85E/70NW, 단층gouge는 1cm이하로 발달
F4		• 녹회색 이암을 절단하는 소규모 단층으로 발달함. • 단층면의 주향/경사는 N84E/86NW, 단층gouge는 1cm이하로 발달

지표지질조사

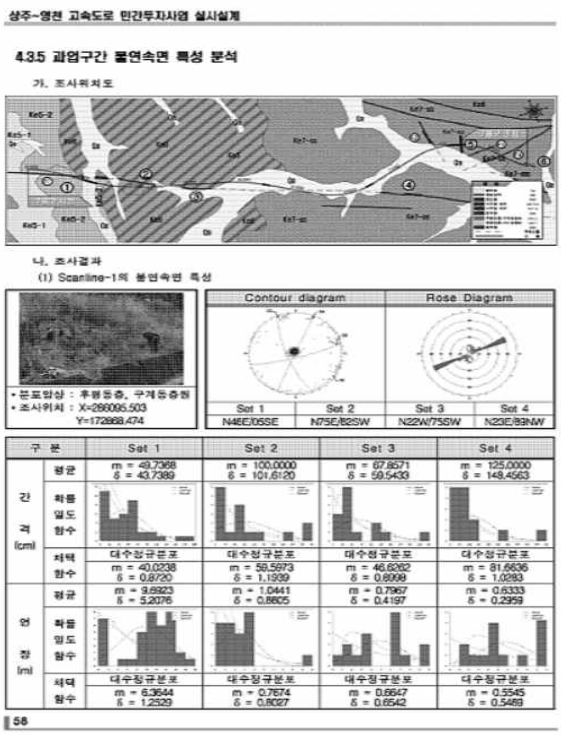

상주~영천 고속도로 민간투자사업 실시설계

4.3.5 과업구간 불연속면 특성 분석

가. 조사위치도

나. 조사결과

(1) Scanline-1의 불연속면 특성

• 분포암상 : 후평층, 구계등층천
• 조사위치 : X=286095.503 Y=172868.474

Contour diagram		Rose Diagram	
Set 1	Set 2	Set 3	Set 4
N48E/65SE	N75E/82SW	N22W/75SW	N23E/89NW

구 분		Set 1	Set 2	Set 3	Set 4
간격 (cm)	평균	m = 49.7368 δ = 43.7389	m = 100.0000 δ = 101.6120	m = 67.8571 δ = 59.5433	m = 125.0000 δ = 148.4563
	확률밀도함수				
	적합함수	대수정규분포 m = 40.0238 δ = 0.8720	대수정규분포 m = 59.5973 δ = 1.1939	대수정규분포 m = 46.6262 δ = 0.8999	대수정규분포 m = 81.6636 δ = 1.0283
연장 (m)	평균	m = 9.6923 δ = 5.2076	m = 1.0441 δ = 0.8605	m = 0.7967 δ = 0.4197	m = 0.6333 δ = 0.2959
	확률밀도함수				
	적합함수	대수정규분포 m = 6.3644 δ = 1.2529	대수정규분포 m = 0.7674 δ = 0.8027	대수정규분포 m = 0.6647 δ = 0.6542	대수정규분포 m = 0.5545 δ = 0.5469

58

제 4 장 조사결과

구 분		Set 1	Set 2	Set 3	Set 4
JRC	평균	m = 8.3590 δ = 1.4934	m = 7.0588 δ = 0.9983	m = 7.7333 δ = 0.6799	m = 8.0000 δ = 1.0328
	확률밀도함수				
	적합함수	정규분포 m = 8.3590 δ = 1.4934	대수정규분포 m = 6.9871 δ = 0.1436	대수정규분포 m = 7.6989 δ = 0.0978	정규분포 m = 8.0000 δ = 1.0328
JCS (kg/cm²)	평균	m = 698.7892 δ = 338.7294	m = 723.0588 δ = 382.1337	m = 766.2000 δ = 497.6163	m = 721.0667 δ = 410.3804
	슈미트해머강도				
	적합함수	대수정규분포 m = 636.5142 δ = 0.4205	대수정규분포 m = 723.0588 δ = 382.1337	대수정규분포 m = 645.2618 δ = 0.5658	대수정규분포 m = 619.8841 δ = 0.5433

(2) Scanline-2의 불연속면 특성

• 분포암상 : 점곡층
• 조사위치 : X=285686.034 Y=173848.635

Contour diagram		Rose Diagram	
Set 1	Set 2	Set 3	
N52W/26NE	N33E/73SE	N86W/49SW	

구 분		Set 1	Set 2	Set 3
간격 (cm)	평균	m = 50.7317 δ = 77.4575	m = 52.6000 δ = 131.4366	m = 73.5294 δ = 128.3140
	확률밀도함수			
	적합함수	정규분포 m = 50.7317 δ = 77.4575	대수정규분포 m = 23.6494 δ = 1.0711	대수정규분포 m = 35.3047 δ = 1.0181

59

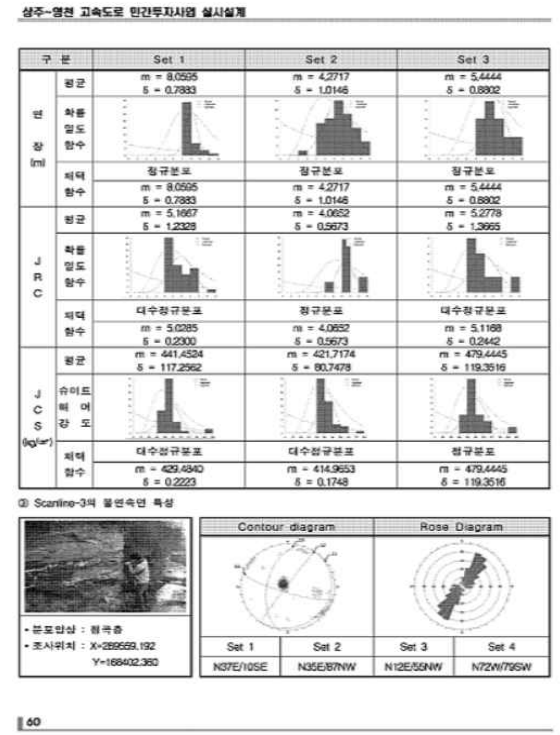

상주~영천 고속도로 민간투자사업 실시설계

구 분		Set 1	Set 2	Set 3
연장 (m)	평균	m = 8.0595 δ = 0.7883	m = 4.2717 δ = 1.0146	m = 5.4444 δ = 0.8802
	확률밀도함수			
	적합함수	정규분포 m = 8.0595 δ = 0.7883	정규분포 m = 4.2717 δ = 1.0146	정규분포 m = 5.4444 δ = 0.8802
JRC	평균	m = 5.1667 δ = 1.2328	m = 4.0652 δ = 0.5673	m = 5.2778 δ = 1.3665
	확률밀도함수			
	적합함수	대수정규분포 m = 5.0285 δ = 0.2300	정규분포 m = 4.0652 δ = 0.5673	대수정규분포 m = 5.1168 δ = 0.2442
JCS (kg/cm²)	평균	m = 441.4524 δ = 117.2562	m = 421.7174 δ = 80.7478	m = 479.4445 δ = 119.3516
	슈미트해머강도			
	적합함수	대수정규분포 m = 429.4840 δ = 0.2223	대수정규분포 m = 414.9653 δ = 0.1748	정규분포 m = 479.4445 δ = 119.3516

(3) Scanline-3의 불연속면 특성

• 분포암상 : 점곡층
• 조사위치 : X=289569.192 Y=168402.360

Contour diagram		Rose Diagram	
Set 1	Set 2	Set 3	Set 4
N37E/10SE	N35E/87NW	N12E/55NW	N7ZW/79SW

60

제 4 장 조사결과

구 분		Set 1	Set 2	Set 3	Set 4
간격 (cm)	평균	m = 47.7959 δ = 74.3480	m = 81.3200 δ = 107.1073	m = 115.3846 δ = 129.8416	m = 98.0000 δ = 108.8963
	확률밀도함수				
	적합함수	대수정규분포 m = 18.0792 δ = 1.3094	대수정규분포 m = 43.2253 δ = 1.079	대수정규분포 m = 56.0577 δ = 1.2398	정규분포 m = 98.0000 δ = 108.8963
연장 (m)	평균	m = 7.6800 δ = 1.2400	m = 5.3654 δ = 1.4907	m = 4.5714 δ = 1.5452	m = 5.2727 δ = 0.3278
	확률밀도함수				
	적합함수	정규분포 m = 7.6800 δ = 1.2400	대수정규분포 m = 5.1745 δ = 0.2863	정규분포 m = 4.5714 δ = 1.5452	대수정규분포 m = 5.2628 δ = 0.0608
JRC	평균	m = 4.8000 δ = 1.2806	m = 5.3077 δ = 1.5633	m = 4.7857 δ = 0.8601	m = 5.1818 δ = 0.9360
	확률밀도함수				
	적합함수	정규분포 m = 4.8000 δ = 1.2806	대수정규분포 m = 5.1010 δ = 0.2757	대수정규분포 m = 4.7113 δ = 0.1757	정규분포 m = 5.1818 δ = 0.9360
JCS (kg/cm²)	평균	m = 1257.1801 δ = 570.0719	m = 1367.7307 δ = 543.8951	m = 1777.3572 δ = 553.9844	m = 1295.5454 δ = 584.4221
	슈미트해머강도				
	적합함수	대수정규분포 m = 1127.8086 δ = 0.4748	정규분포 m = 1367.7307 δ = 543.8951	대수정규분포 m = 1679.6270 δ = 0.3508	정규분포 m = 1295.5454 δ = 584.4221

61

지표지질조사

(4) Scanline-4의 불연속면 특성

• 분포암상 : 상부 사곡층
• 조사위치 : X=263962.837
Y=178402.541

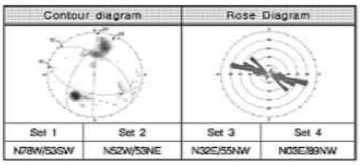

구 분		Set 1	Set 2	Set 3	Set 4
간격 (cm)	평균	m = 59.0253 δ = 103.9234	m = 113.9000 δ = 154.8056	m = 149.6667 δ = 353.8287	m = 155.4545 δ = 256.7409
	확률밀도함수				
	채택함수	대수정규분포	대수정규분포	대수정규분포	대수정규분포
		m = 22.9521 δ = 1.2677	m = 48.3148 δ = 1.2796	m = 22.3906 δ = 1.7706	m = 54.2596 δ = 1.4158
연장 (m)	평균	m = 6.6538 δ = 1.8297	m = 6.1667 δ = 1.6354	m = 5.5625 δ = 1.4128	m = 3.9583 δ = 1.1807
	확률밀도함수				
	채택함수	정규분포	정규분포	정규분포	정규분포
		m = 6.6538 δ = 1.8297	m = 6.1667 δ = 1.6354	m = 5.5625 δ = 1.4128	m = 3.9583 δ = 1.1807
JRC	평균	m = 7.5897 δ = 3.8345	m = 6.8095 δ = 1.9668	m = 6.3125 δ = 1.1575	m = 5.0000 δ = 1.0000
	확률밀도함수				
	채택함수	대수정규분포	정규분포	대수정규분포	대수정규분포
		m = 6.8483 δ = 0.4302	m = 6.8095 δ = 1.9668	m = 6.1932 δ = 0.2022	m = 4.9041 δ = 0.1952

구 분		Set 1	Set 2	Set 3	Set 4
JCS (kg/cm²)	평균	m = 1066.6154 δ = 487.0750	m = 974.5238 δ = 518.3017	m = 947.5000 δ = 494.6051	m = 1108.3334 δ = 627.2767
	슈미트해머강도				
	채택함수	대수정규분포	대수정규분포	대수정규분포	대수정규분포
		m = 970.7012 δ = 0.4290	m = 858.9439 δ = 0.4925	m = 831.8854 δ = 0.5078	m = 977.3091 δ = 0.4772

(5) Scanline-5의 불연속면 특성

• 분포암상 : 순천층
• 조사위치 : X=284545.042
Y=179812.942

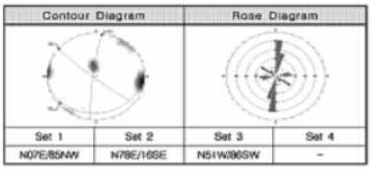

구 분		Set 1	Set 2	Set 3
간격 (cm)	평균	m = 26.8000 δ = 18.8951	m = 23.0000 δ = 36.6634	m = 36.9474 δ = 22.3430
	확률밀도함수			
	채택함수	대수정규분포	대수정규분포	대수정규분포
		m = 21.4125 δ = 0.7009	m = 15.1340 δ = 0.7744	m = 30.4773 δ = 0.6359
연장 (m)	평균	m = 2.3225 δ = 0.9634	m = 7.3000 δ = 2.3965	m = 1.5000 δ = 0.6708
	확률밀도함수			
	채택함수	대수정규분포	정규분포	대수정규분포
		m = 2.1344 δ = 0.4185	m = 7.3000 δ = 2.3965	m = 1.3741 δ = 0.4048

구 분		Set 1	Set 2	Set 3
JRC	평균	m = 4.9032 δ = 0.6888	m = 5.0000 δ = 0.8944	m = 5.3000 δ = 0.9000
	확률밀도함수			
	채택함수	정규분포	정규분포	정규분포
		m = 4.9032 δ = 0.6888	m = 5.0000 δ = 0.8944	m = 5.3000 δ = 0.9000
JCS (kg/cm²)	평균	m = 845.1613 δ = 308.4102	m = 812.1000 δ = 210.0434	m = 937.0000 δ = 308.6697
	슈미트해머강도			
	채택함수	대수정규분포	정규분포	정규분포
		m = 780.7507 δ = 0.3987	m = 812.1000 δ = 210.0434	m = 937.0000 δ = 308.6697

(6) Scanline-6의 불연속면 특성

• 분포암상 :상부 사곡층
• 조사위치 : X=283651.9344
Y=180899.5496

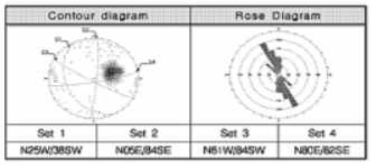

구 분		Set 1	Set 2	Set 3	Set 4
간격 (cm)	평균	m = 15.7245 δ = 16.6585	m = 102.7273 δ = 114.5736	m = 131.3333 δ = 127.5147	m = 115.0833 δ = 145.8752
	확률밀도함수				
	채택함수	대수정규분포	대수정규분포	정규분포	대수정규분포
		m = 9.2466 δ = 1.0696	m = 51.7511 δ = 1.3550	m = 131.3333 δ = 127.5147	m = 61.6578 δ = 1.0907

구 분		Set 1	Set 2	Set 3	Set 4
연장 (m)	평균	m = 11.2121 δ = 2.3193	m = 6.9167 δ = 3.5227	m = 2.5300 δ = 3.5097	m = 1.3462 δ = 2.5503
	확률밀도함수				
	채택함수	정규분포	대수정규분포	대수정규분포	대수정규분포
		m = 11.2121 δ = 2.3193	m = 5.7772 δ = 0.6768	m = 1.6528 δ = 0.7357	m = 0.5917 δ = 1.0885
JRC	평균	m = 7.3939 δ = 0.9621	m = 6.8333 δ = 1.0672	m = 5.7000 δ = 1.6155	m = 6.8462 δ = 1.0283
	확률밀도함수				
	채택함수	정규분포	대수정규분포	대수정규분포	대수정규분포
		m = 7.3939 δ = 0.9621	m = 6.7462 δ = 0.1594	m = 5.5127 δ = 0.2485	m = 6.7673 δ = 0.1535
JCS (kg/cm²)	평균	m = 592.9091 δ = 198.1289	m = 710.0833 δ = 297.2256	m = 599.8000 δ = 164.9544	m = 584.0769 δ = 147.8344
	슈미트해머강도				
	채택함수	정규분포	정규분포	정규분포	정규분포
		m = 592.9091 δ = 198.1289	m = 710.0833 δ = 297.2256	m = 599.8000 δ = 164.9544	m = 584.0769 δ = 147.8344

다. 불연속면 종합

(1) Scanline-1의 불연속면 종합

구 분	Set 1	Set 2	Set 3	Set 4
방향	N46E/05SE	N75E/82SE	N22W/75SW	N23E/89NW
간격(cm)	m = 40.0238 δ = 0.8720	m = 59.5973 δ = 1.1909	m = 46.6262 δ = 0.8998	m = 81.6636 δ = 1.0283
	대수정규분포	대수정규분포	대수정규분포	대수정규분포
연장(m)	m = 6.3644 δ = 1.2529	m = 0.7674 δ = 0.8027	m = 0.6647 δ = 0.5542	m = 0.5545 δ = 0.5469
	대수정규분포	대수정규분포	대수정규분포	대수정규분포
JRC	m = 8.3590 δ = 1.4934	m = 6.9871 δ = 0.1436	m = 7.6969 δ = 0.0978	m = 8.0000 δ = 1.0328
	정규분포	대수정규분포	대수정규분포	정규분포

지표지질조사

구 분	Set 1	Set 2	Set 3	Set 4
JCS (kg/㎠)	m = 636.5142 δ = 0.4205	m = 723.0588 δ = 382.1337	m = 645.2618 δ = 0.5656	m = 619.8841 δ = 0.5433
	대수정규분포	정규분포	대수정규분포	대수정규분포

(2) Scanline-2의 불연속면 종합

구 분	Set 1	Set 2	Set 3
방향	N52W/26NE	N33E/73SE	N86W/49SW
간격(cm)	m = 50.7317 δ = 77.4575	m = 23.6494 δ = 1.0711	m = 35.3047 δ = 1.0181
	정규분포	대수정규분포	대수정규분포
연장(m)	m = 8.0595 δ = 0.7883	m = 4.2717 δ = 1.0146	m = 5.4444 δ = 0.8802
	정규분포	정규분포	정규분포
JRC	m = 5.0285 δ = 0.2300	m = 4.0652 δ = 0.5673	m = 5.1168 δ = 0.2442
	대수정규분포	정규분포	대수정규분포
JCS (kg/㎠)	m = 429.4645 δ = 0.2223	m = 414.9653 δ = 0.1748	m = 479.4445 δ = 119.3516
	대수정규분포	대수정규분포	정규분포

(3) Scanline-3의 불연속면 종합

구 분	Set 1	Set 2	Set 3	Set 4
방향	N37E/10SE	N35E/87NW	N12E/53NW	N72W/79SW
간격(cm)	m = 18.0792 δ = 1.3094	m = 43.2253 δ = 1.0791	m = 56.0577 δ = 1.2398	m = 98.0000 δ = 108.8963
	대수정규분포	대수정규분포	대수정규분포	정규분포
연장(m)	m = 7.6800 δ = 1.3400	m = 5.1745 δ = 0.2663	m = 4.5714 δ = 1.5452	m = 5.2828 δ = 0.0608
	정규분포	대수정규분포	정규분포	대수정규분포
JRC	m = 4.8000 δ = 1.2806	m = 5.1010 δ = 0.2757	m = 4.7113 δ = 0.1757	m = 5.1818 δ = 0.0360
	정규분포	대수정규분포	대수정규분포	정규분포
JCS (kg/㎠)	m = 1127.8086 δ = 0.4748	m = 1367.7307 δ = 343.8951	m = 1670.0270 δ = 0.3508	m = 1295.5454 δ = 584.4221
	대수정규분포	정규분포	대수정규분포	정규분포

(4) Scanline-4의 불연속면 종합

구 분	Set 1	Set 2	Set 3	Set 4
방향	N78W/53SW	N52W/53NE	N32E/55NW	N3E/89NW
간격(cm)	m = 22.9521 δ = 1.2677	m = 48.3148 δ = 1.2796	m = 22.3906 δ = 1.7706	m = 54.2596 δ = 1.4158
	대수정규분포	대수정규분포	대수정규분포	대수정규분포
연장(m)	m = 6.6538 δ = 1.6297	m = 6.1667 δ = 1.6354	m = 5.5625 δ = 1.4128	m = 3.9663 δ = 1.1607
	정규분포	정규분포	정규분포	정규분포

구 분	Set 1	Set 2	Set 3	Set 4
JRC	m = 6.8483 δ = 0.4302	m = 6.8095 δ = 1.9668	m = 6.1502 δ = 0.2022	m = 4.9041 δ = 0.1952
	대수정규분포	정규분포	대수정규분포	대수정규분포
JCS (kg/㎠)	m = 970.7012 δ = 0.4290	m = 858.9439 δ = 0.4925	m = 831.8654 δ = 0.5078	m = 977.3091 δ = 0.4772
	대수정규분포	대수정규분포	대수정규분포	대수정규분포

(5) Scanline-5의 불연속면 종합

구 분	Set 1	Set 2	Set 3
방향	N07E/85NW	N78E/16SE	N51W/86SW
간격(cm)	m = 21.4125 δ = 0.7009	m = 15.1340 δ = 0.7744	m = 30.4773 δ = 0.6359
	대수정규분포	대수정규분포	대수정규분포
연장(m)	m = 2.1344 δ = 0.4185	m = 7.3000 δ = 2.3965	m = 1.3741 δ = 0.4048
	대수정규분포	정규분포	대수정규분포
JRC	m = 4.9032 δ = 0.5988	m = 5.0000 δ = 0.8944	m = 5.3000 δ = 0.9000
	정규분포	정규분포	정규분포
JCS (kg/㎠)	m = 780.7507 δ = 0.3987	m = 812.1000 δ = 210.0434	m = 937.0000 δ = 308.6697
	대수정규분포	정규분포	정규분포

(6) Scanline-6의 불연속면 종합

구 분	Set 1	Set 2	Set 3	Set 4
방향	N25W/38SW	N05E/84SE	N61W/84SW	N80E/82SE
간격(cm)	m = 9.2466 δ = 1.0696	m = 51.7511 δ = 1.3550	m = 131.3333 δ = 127.5147	m = 61.0578 δ = 1.0907
	대수정규분포	대수정규분포	정규분포	대수정규분포
연장(m)	m = 11.2121 δ = 2.3193	m = 5.7772 δ = 0.6768	m = 1.6528 δ = 0.7357	m = 0.5917 δ = 1.0885
	정규분포	대수정규분포	대수정규분포	대수정규분포
JRC	m = 7.3609 δ = 0.9621	m = 6.7482 δ = 0.1594	m = 5.5127 δ = 0.2485	m = 6.7673 δ = 0.1535
	정규분포	대수정규분포	대수정규분포	대수정규분포
JCS (kg/㎠)	m = 592.9091 δ = 196.1269	m = 710.0833 δ = 297.2256	m = 599.8000 δ = 164.9544	m = 584.0769 δ = 147.8344
	정규분포	정규분포	정규분포	정규분포

11.2.2 시설물 점검이력

대상시설물은 2종 시설물로서 준공이후 기준에 따라 정기안전점검, 정밀안전점검, 성능평가를 지속적으로 실시해 왔으며, 이력사항은 다음과 같다.

【표 11.2.1】 점검이력사항

번호	기 간	점검진단 기관명	책임 기술자	점검종류	점검 결과	안전 등급
1	2017.11.13 ~2017.12.28	(주)명성엔지니어링	인승철	정기안전점검	패널식옹벽11에 대한 점검결과, 주요 손상으로는 배수로 균열이 국부적으로 발생한 것으로 조사되었다. 기 발생된 손상부는 내구성 확보 차원의 보수가 필요하다.	양호
2	2018.05.28 ~2018.06.29	(주)명성엔지니어링	인승철	정기안전점검	패널식옹벽11에 대한 점검결과, 주요 손상으로는 배수로 균열이 국부적으로 발생한 것으로 조사되었다. 기 발생된 손상부는 내구성 확보 차원의 보수가 필요하다.	양호
3	2018.10.23 ~2018.12.14	(주)명성엔지니어링	인승철	정기안전점검	패널식옹벽11에 대한 점검결과, 주요 손상으로는 배수로 균열이 국부적으로 발생한 것으로 조사되었다. 기 발생된 손상부는 내구성 확보 차원의 보수가 필요할 것으로 판단된다.	양호
4	2019.03.18 ~2019.05.28	(주)명성엔지니어링	인승철	정기안전점검	패널식옹벽11에 대한 외관조사 결과, 주요 손상으로는 배수로 균열이 국부적으로 발생한 것으로 조사되었다. 기 발생된 손상부는 내구성 확보 차원의 보수가 필요할 것으로 판단된다.	양호
5	2019.09.16 ~2019.12.27	(주)명성엔지니어링	장진원	정밀안전점검	본옹벽에대한정밀안전점검결과,문제점이 없는최상의상태인 “A"등급의우수한상태로평가되었다. 패널식옹벽11의전면부에판넬파손이조사되었고,사용성에문제는없는상태로주기적인점검을통한손상의증가및확대등에대해확인,조치를실시하는유지관리가필요하다고 판단된다.주변영향인자(배수시설및사면상태)에서는옹벽상부배수로에서배수로균열이조사되었으나,사용성에문제는없는상태이고,사면내의침식,유실등의손상이없는상태로서전반적으로양호한상태를유지하고있는것으로조사되었다.	A등급
6	2020.05.12 ~2020.06.30	(주)명성엔지니어링	인승철	정기안전점검	패널식옹벽11에 대한 외관조사 결과, 패널 전면부 일부구간 판넬 파손이 국부적으로 발생된 것으로 조사되었다. 기 발생된 손상부는 옹벽의 안전성에 영향을 미칠만한 손상은 아니나, 손상의 진전방지를 위한 보수가 필요할 것으로 판단된다.	양호

【표 11.2.1】 점검이력사항(계속)

번호	기 간	점검진단 기관명	책임 기술자	점검종류	점검 결과	안전 등급
7	2020.08.31 ~2020.12.31	(주)명성엔지니어링	인승철	2종성능평가	? 안전성능평가는외관상관찰되는시설물의결함을중심으로조사 · 평가하였으며,현장조사및분석결과중대결함은관찰되지않았고,옹벽의외관에는판넬백태및표면열화,판넬파손,앵코캡파손등의손상이조사되었으나,구조적인결함은아닌것으로판단됨. ? 내구성능평가는시간에따라변화하는안전성능저하에영향을미치는요소에대한평가로서본콘크리트옹벽의열화진전평가및열화환경평가를종합하여분석한결과,평가결과 “A”로평가됨. ? 종합평가결과,외관상결함,손상등의요인에대한문제점이없고내구성능저하가능성이낮으며외부환경조건변화등을수용할수있는성능수준인A(우수)등급으로평가됨. ? 본보강토옹벽의성능목표등급은세부지침에의거하여옹벽의일반적인성능목표인"B"등급으로성능목표를설정하였으며,현재성능은목표성능을상회하여매우만족하는 “A"등급인상태로주기적인점검및관리를통한평가저해요소에대한관리가이루어진다면시설물의안전및내구성에는문제가없을것으로판단됨.	A등급
8	2020.08.31 ~2020.12.31	(주)명성엔지니어링	인승철	정기안전점검	패널식옹벽11에 대한 외관조사 결과, 패널 전면부 일부구간 판넬 파손이 국부적으로 발생된 것으로 조사되었다. 기 발생된 손상부는 옹벽의 안전성에 영향을 미칠만한 손상은 아니나, 손상의 진전방지를 위한 보수가 필요할 것으로 판단된다.	양호
9	2021.03.08 ~2021.06.07	(주)명성엔지니어링	장진원	정기안전점검	패널식 옹벽 11에 대한 외관조사 결과, 패널 전면부 일부구간 판넬 파손이 국부적으로 발생된 것으로 조사되었다. 기 발생된 손상부는 옹벽의 안전성에 영향을 미칠만한 손상은 아니나, 손상의 진전방지를 위한 보수가 필요할 것으로 판단된다.	양호
10	2021.08.25 ~2021.12.10	(주)명성엔지니어링	장진원	정밀안전점검	-전면부판넬파손 -기초부상태양호 -주변영향인자상태양호	A등급

【표 11.2.1】 점검이력사항(계속)

번호	기 간	점검진단 기관명	책임 기술자	점검종류	점검 결과	안전 등급
11	2022.05.16 ~2022.06.24	(주)명성엔지니어링	정지운	정기안전점검	- 패널 전면부 판넬 파손	양호
12	2022.09.19 ~2022.11.30	(주)명성엔지니어링	이상훈	정기안전점검	- 패널 전면부 판넬 파손	양호
13	2023.04.03 ~2023.06.16	(주)명성엔지니어링	정지운	정기안전점검	- 패널 전면부 판넬 파손	양호
14	2023.07.03 ~2023.12.08	(주)명성엔지니어링	이상훈	정밀안전점검	-전면부판넬파손등 -기초부상태양호 -주변영향인자상태양호	A등급
15	2024.06.10 ~2024.06.28	(주)명성엔지니어링	정지운	정기안전점검	-패널전면부판넬파손 -배수로균열	양호
16	2024.09.23 ~2024.12.03	(주)명성엔지니어링	정지운	정기안전점검	- 패널 전면부 판넬 파손	양호
17	2025.03.24 ~2025.06.18	(주)명성엔지니어링	정지운	정기안전점검	-옹벽전면부판넬파손 -기초지반상태양호 -배수시설상태양호 -사면상태양호	양호

11.2.3 전차 정밀안전점검 실시결과(2023년12월)

구분	정밀안전점검 결과	비고
용역명	상주영천고속도로 시설물 안전 · 하자점검 및 성능평가 용역(정밀안전점검)	
용역기간	2023-07-03 ~ 2023-12-08(일)	
용역사	(주)명성엔지니어링	
현장조사결과	■ 전면부 판넬 파손 등 ■ 기초부 상태양호 ■ 주변영향인자 상태양호	
비파괴조사	■ 금회(2023년) 정밀안전점검을 실시하면서 전면 패널부에 대한 반발경도시험을 실시한 결과, 시험시 전개소에서 설계기준강도 100%이상의 강도비를 보이고 있어 콘크리트 강도는 양호한 상태를 유지하고 있는 것으로 판단된다. 또한 전회(2021년) 정밀안전점검에서 실시한 강도 값과 비교하여 전면 패널의 강도저하 등 별다른 문제점은 없는 것으로 확인되었다.	
안전성평가 (진단시)	■ 해당없음	
상태평가	■ 손상결함도 지수 0.00으로 A등급	
보수보강 (진단시)	■ 해당없음	

구분	정밀안전점검 결과	비고
종합의견	■ 패널식 옹벽 11의 전면부에는 외부충격으로 인한 판넬 파손이 조사되었으며, 사용성에 문제는 없는 상태로 내구성 확보 차원의 단면보수 등의 보수를 실시하고, 주기적인 점검을 통한 신규 손상의 발생확인 등에 대한 유지관리가 필요하다고 판단된다. ■ 주변영향인자(사면부, 배수시설)에 옹벽 상부 배수로(측구)에 별도의 손상은 조사되지 않았으나, 상부 배수로 설치부에 과도한 식생이 산재하여, 추후 원활한 점검을 위한 정비 등의 조치가 필요하고, 상부 성토부, 도로 포장부에도 성도부 내의 침식, 유실 등의 손상이 없는 상태로 전반적으로 양호한 상태를 유지하고 있는 것으로 조사되었으나 주기적인 점검을 통하여 전면부의 손상발생 여부 확인 등의 유지관리가 필요할 것으로 사료된다. ■ 지반, 기초부의 경우 침하, 활동, 전도 등 구조적인 손상결함 및 세굴이 없는 양호한 상태로 신규 손상 등은 조사되지 않았으나 주기적인 점검을 통하여 지반, 기초부의 손상발생 여부 확인 등의 유지관리가 필요할 것으로 사료된다. ■ 금회 조사 시기에는 사용성에 문제는 없는 상태로 판단되나 주기적인 점검을 통한 손상의 증가 및 확대 등에 대해 확인, 조치를 실시하는 유지관리가 필요할 것으로 판단된다. ■ 공중이 이용하는 부위중 도로포장은 본문의 지반, 기초부, 주변영향인자에 기입된 내용으로 대체하였으며, 도로부 신축이음부, 추락방지시설, 환기구 등의 덮개는 미설치된 상태이다. ■ 측량결과, 전회 및 설계도서와 비교하여 검토한 결과, 미소한 차이가 확인되었으며, 측량시 발생할 수 있는 측량기기 오차, 측량기기 사용 종류의 차이와 측량시 발생할 수 있는 오차내로서, 침하, 전도, 활동 등이 발생하지 않은 상태로 판단된다. ■ 강도시험결과, 설계기준강도를 상회하는 양호한 상태로 확인되었다. ■ 대상 옹벽은 평가기준에 따른 결함지수는 0.00, 상태평가결과는 “A”로 산정되었다. ■ 종합평가 결과, 대상시설물의 안전등급은 “A등급 : 문제점이 없는 최상의 상태”으로 지정하였다. ■ 대상 시설물은 금회 점검결과, 정밀안전진단 및 사용제한이 필요치 않다. ■ 금회 조사된 외부충격에 의해 발생한 판넬 파손 손상에 대한 주기적인 점검을 통해 발생규모 및 현황관리를 실시하고, 일정규모 이상 발생할 경우 보수를 통한 관리 필요하다고 판단된다.	

11.2.4 2종 성능평가 실시결과(2020년 12월, ㈜명성엔지니어링)

가. 안전성능평가 결과

안전성능 평가 결과 산정표			
시설물명	패널식 옹벽 11		
평가 구분	결함지수	평가 결과	비 고
상태안전성능	0.01	A	-
구조안전성능	0.14	A	-
안전성능 결과	ㅇ상태안전성능과 구조안전성능 등급 중 최소등급 선택. ㅇ안전성능평가 결과 : A등급		

나. 내구성능평가 결과

평가항목		등급	등급 점수	비고
열화 진전 평가	탄산화 깊이	-	-	-
	피복(표면부) 콘크리트 품질	A	0.08	-
	염화물 침투량 평가	-	-	-
열화 환경 평가	제설제 염해환경	A	0.08	-
	비래염분 염해환경	A	0.08	-
	동해환경	A	0.08	-
결함도 지수				0.08
등 급				A

다. 종합평가 결과

시설물의 종합평가 결과 산정표				
시설물명	패널식 옹벽 11		분류	상주영천고속도로
평가 구분	성능평가 지수	평가 결과	성능간가중치(Wn)	비 고
안전성능평가	Ps=0.140	A	0.8	-
내구성능평가	Pd=0.080	A	0.2	-
종합평가 결과	ㅇ사면의 종합평가 지수(P) = ∑(성능평가지수(pn) × 성능간 가중치(Wn)) = (0.140 × 0.8) + (0.080 × 0.2) = 0.128 ㅇ종합평가 결과 : A등급			

라. 종합결론

본 절토사면의 성능평가 결과, 성능목표인 "B등급" 이상인 “A등급”인 상태로 주기적인 점검 및 관리를 통한 평가저해요소에 대한 관리가 이루어진다면 시설물의 안전 및 내구성에는 문제가 없을 것으로 판단된다.

11.2.5 시설물 보수 이력

【표 11.2.2】 보수이력사항

번호	공사명	공사 구분	보수·보강공사 부위	설계자	시공자
	공사기간		공사내역	공사비(천원)	책임기술자
1	-	-	-	-	-
	-		-	-	-

FMS상 이외에 주기적으로 일상적인 보수가 실시되고 있는 것으로 확인되었다.

11.2.6 시설물의 내진설계 여부 확인

【표 11.2.3】 내진설계 여부 확인

검토대상 부재	설계적용여부	결과	검토결과 요약
해당사항 없음	적용		

11.2.7 시설물의 용도변경 여부 확인

FMS(시설물정보종합관리시스템) 상에 용도변경 이력은 없는 것으로 확인되었다.

11.2.8 주변환경 및 하중변화

패널식 옹벽 11은 경상북도 영천시 신녕면 화남리에 위치하고 상주영천고속도로 하부에 시공되어있는 보강토 옹벽이다.

FMS(시설물통합정보관리시스템 fms.or.kr) 및 관리주체인 상주영천고속도로(주)에 보관된 준공관련자료를 검토한 결과 준공시 고려되었던 하중 이외의 추가하중은 없는 상태이며, 향후 본 옹벽 및 옹벽 상부에 부속시설 설치시 그에 따른 구조검토를 실시하여 하중변화에 따른 옹벽의 안정성을 확보하여야 할 것이다.

또한, 준공도면 및 기 실시되었던 점검자료를 검토한 결과 준공시와 점검일현재의 옹벽 주변 현황의 변화는 없는 것으로 검토되었다.

상부 상태현황 전경	상부 상태현황 전경
기초부 상태현황 전경	기초부 상태현황 전경

【사진 11.2.1】 주변환경 및 하중변화 전경

11.2.9 수집자료 검토결과 및 점검방향 설정

【표 11.2.4】 수집자료 검토결과 및 점검방향 설정

구 분	수집 자료	자료분석 결과	진단과업 진행방향
건 설 관 련 자 료	◇준공도서 – 지반조사보고서 – 각종계산서 – 공사시방서 – 준공내역서 – 준공도면 – 실시설계보고서 – 기타 특이사항 보고서 – 사고기록 등	◇구조계산서 및 준공도면은 설계당시 기준에 준하여 작성된 것으로 확인됨 ◇주요 설계변경 내용 및 시공시 문제점이 없는 것으로 파악됨	◇ 현장조사 시 부재치수를 실측하여 준공도면과 비교·검토함 ⇒ 치수가 상이할 경우 도면을 재작성하며 실측치를 구조계산에 반영(발주처협의) ⇒ 치수가 동일할 경우 준공도면을 기준으로 과업 진행 ◇구조물의 제원변경확인 및 추가손상 발생에 대한 안정성 확보여부 확인
유 지 관 리 자 료	◇전차 성능평가 보고서 ◇전차 정밀안전점검 및 안전점검 보고서 ◇사고기록	◇부재별 중점손상 – 전면부 판넬 파손 등 – 기초부 상태양호 – 주변영향인자 상태양호	◇전회 점검결과와 금회 점검결과를 비교·검토하여 추가 손상 및 진전 여부를 확인하여 대책방안 마련
	◇보수·보강 이력 – 시설물정보관리종합시스템(FMS) 및 전차 점검보고서 보수 및 점검이력	◇FMS상 등재된 보수이력 외에 주기적인 보수가 실시되고 있는 것으로 확인됨	◇보수부 상태 확인

11.3 현장조사

11.3.1 현황 및 구간분할

본 과업대상 시설물은 경상북도 영천시 신녕면 화남리에 위치하고 있으며, 옹벽의 상단부는 상주영천고속도로 본선이 있으며, 하부로는 농경지가 접하고 있는 상태이다. 선형은 패널형태 시공의 직선형을 가지며, 높이는 0.5~7.5m를 보이며, 총 연장은 136.9m의 규모를 가지는 보강토 옹벽이다. 현장조사를 위한 실측조사 결과 시설물관리대장상(L=136.9m, L=7.5m)의 제원과 미소한 차이가 있는 것으로 분석되었다. 대상시설물에 대한 자료수집 및 현장조사결과를 통해 확인된 일반현황 및 특성, 분류 및 구간분할 결과는 다음과 같다.

가. 일반현황 조사결과

【표 11.3.1】 일반현황 조사결과

<table>
<tr><td>조사일자</td><td colspan="2">2025. 08. 26</td><td>조 사 자</td><td>정 지 운</td></tr>
<tr><td>일 기</td><td colspan="2">맑음</td><td>시설물번호</td><td>RW2017-0000082</td></tr>
<tr><td rowspan="3">시설물위치</td><td>행정구역</td><td colspan="3">경상북도 영천시 신녕면 화남리</td></tr>
<tr><td rowspan="2">위치좌표</td><td colspan="3">시점 : 36° 06′ 01.6″ 128° 75′ 91.8″</td></tr>
<tr><td colspan="3">종점 : 36° 06′ 07.1″ 128° 76′ 11.0″</td></tr>
<tr><td>노선명(이정)</td><td colspan="4">고속국도 301호선 62.330~62.470km</td></tr>
<tr><td rowspan="3">제 원</td><td>옹벽형식</td><td>보강토</td><td>옹벽재료</td><td>패널식</td></tr>
<tr><td>연 장</td><td>136.9m</td><td>지면노출
높 이</td><td>7.5m</td></tr>
<tr><td>보 강 재
길 이</td><td>-</td><td>저 판 폭
길 이</td><td>-</td></tr>
<tr><td>관리주체</td><td colspan="2">상주영천고속도로(주)</td><td>관리주체구분</td><td>민간</td></tr>
<tr><td rowspan="2">주변환경</td><td>옹벽상부</td><td colspan="3">상주영천고속도로 본선</td></tr>
<tr><td>옹벽하부</td><td colspan="3">농경지</td></tr>
<tr><td rowspan="2">시공현황</td><td>준공년도</td><td>2017년 06월 27일</td><td>시 공 자</td><td>경남기업㈜</td></tr>
<tr><td>부대시설</td><td colspan="3">-</td></tr>
<tr><td>비 고</td><td colspan="4"></td></tr>
</table>

나. 옹벽 구간분할 결과

금회 정밀안전점검시 수행한 현장조사에서 구간분할은 세부지침의 기준으로 20m간격을 두고 구간분할을 실시하였다. 총 7개 구간(S1~S7)으로 구분하고 세부사항은 아래와 같다.

【표 11.3.2】 옹벽 구간분할 결과

Span	구 간	누계 (m)	최고높이 (m)	Span	구 간	누계 (m)	최고높이 (m)
1	시점~20.0m	20.0	4.3	5	80.0~100.0m	100.0	7.0
2	20.0~40.0m	40.0	5.1	6	100.0~120.0m	120.0	6.8
3	40.0~60.0m	60.0	7.4	7	120.0~136.9m	136.9	6.9
4	60.0~80.0m	80.0	7.5	-	-	-	

측점분할 작업사진

측점분할 작업사진

11.3.2 부재별 현장조사 결과

가. 지반, 기초부

1) 현황

본 옹벽은 비포장 및 하부 배수로가 시공된 상태로 세굴, 침하, 유실, 옹벽밀림 등에 대해 면밀한 조사를 실시하였고, 주요 손상 및 조사결과는 다음과 같다.

【사진 11.3.1】 지반, 기초부 전경

2) 조사결과

- 지반, 기초부에 대한 현장조사 결과, 침하, 활동, 전도 등 구조적인 손상결함 및 세굴이 없는 양호한 상태로 조사되었다.

【표 11.3.3】 지반, 기초부 손상현황

구분	상태양호	
S1	-	-
S2	-	-
S3	-	-
S4	-	-
S5	-	-
S6	-	-
S7	-	-
합계	-	-

현 황	• 상태현황
원 인	• –
대 책	• –

현 황	• 상태현황
원 인	• –
대 책	• –

현 황	• 상태현황
원 인	• –
대 책	• –

현 황	• 상태현황
원 인	• –
대 책	• –

현 황	• 상태현황
원 인	• –
대 책	• –

현 황	• 상태현황
원 인	• –
대 책	• –

3) 기 정밀안전점검과의 결과 비교

- 전회 점검과 비교결과, 기존손상이 없는 상태로 확인되었고, 금회 점검에서 추가적인 신규손상 등은 조사되지 않았다.

【표 11.3.4】 지반, 기초부 기 정밀안전점검과의 결과 비교

구분	손상 내용	단위	2023년 정밀안전점검		2025년 정밀안전점검		증·감 (▲, ▼)	비고
			물량	개소	물량	개소		
지반, 기초부	상태양호	-	-	-	-	-	- -	변동없음

4) 검토의견

- 지반, 기초부에 대한 현장조사 결과, 점검 당시에 침하, 활동, 전도 등 구조적인 손상결함 및 세굴이 없는 양호한 상태로 신규 손상 등은 조사되지 않았으나 주기적인 점검을 통하여 지반, 기초부의 손상발생 여부 확인 등의 유지관리가 필요할 것으로 사료된다.

나. 전면부

1) 현황

패널식 보강토옹벽으로 블록의 파손 및 손상, 균열, 유실, 이격 등에 대해 면밀한 조사를 실시하였다. 보강토 옹벽은 1단으로 구성되어 있으며, 주요 손상 및 조사결과는 다음과 같다.

【사진 11.3.2】 전면부 전경

2) 조사결과

■ 전면부에 대한 현장조사 결과, 판넬 파손, 실란트 열화 손상이 조사되었다.

【표 11.3.5】 전면부 손상현황

구분	판넬 파손 (㎡/개소)		실란트 열화 (m/개소)	
S1	-	-	-	-
S2	-	-	-	-
S3	-	-	-	-
S4	-	-	-	-
S5	0.02	1	-	-
S6	0.01	1	4.50	1
S7	0.01	1	-	-
합계	**0.04**	**3**	**4.50**	**1**

현 황	• S5 판넬 파손(0.2x0.1)	현 황	• S5 판넬 파손(0.2x0.1)
원 인	• 외부 충격	원 인	• 외부 충격
대 책	• 주의관찰	대 책	• 주의관찰
현 황	• S6 판넬 파손(0.1x0.1)	현 황	• S6 판넬 파손(0.1x0.1)
원 인	• 외부 충격	원 인	• 외부 충격
대 책	• 주의관찰	대 책	• 주의관찰
현 황	• S6 실란트 열화(L=4.50m)	현 황	• S6 실란트 열화(L=4.50m)
원 인	• 공용기간 증가 등	원 인	• 공용기간 증가 등
대 책	• 실란트 재시공	대 책	• 실란트 재시공

현 황	• S7 판넬 파손(0.1x0.1)	현 황	• S7 판넬 파손(0.1x0.1)
원 인	• 외부 충격	원 인	• 외부 충격
대 책	• 주의관찰	대 책	• 주의관찰

3) 기 정밀안전점검과의 결과 비교

■ 전회 점검과 비교결과, 기존손상인 판넬 파손 손상이 확인되었고, 금회 점검에서 외부충격, 공용기간 증가 등으로 인한 판넬 파손, 실란트 열화 손상이 추가로 조사되었다.

【표 11.3.6】 전면부 기 정밀안전점검과의 결과 비교

구분	손상 내용	단위	2023년 정밀안전점검		2025년 정밀안전점검		증·감 (▲, ▼)	비고
			물량	개소	물량	개소		
전면부	판넬 파손	㎡	0.01	1	0.04	3	▲ 0.03	신규손상
	실란트 열화	m	-	-	4.50	1	▲ 4.50	신규손상

4) 검토의견

■ 전면부에서 조사된 판넬 파손의 경우 외부충격 등에 의한 손상으로 손상의 정도가 경미하여 구조적인 영향을 미치는 손상은 아니다. 이에 즉각적인 보수를 실시하기 보다는 주기적인 점검을 통한 손상의 진전여부를 확인하는 유지관리를 실시하고 손상의 진전시 단면보수 등의 보수를 실시하는 것이 바람직할 것으로 사료된다.

■ 조사된 실란트 열화의 경우 공용기간 증가에 의한 열화 손상이며, 실란트 재시공 등 보수를 실시하고 손상의 재발생 여부를 확인하는 유지관리가 필요하다. 또한 옹벽 상부 및 전면에 전체적으로 과도한 식생이 산재하여 원활한 유지관리 및 점검을 위한 정비가 필요하다.

다. 주변영향인자(배수시설 및 사면상태)

1) 현황

보강토 옹벽 내의 배수시설을 확인한 결과, 옹벽 상단부에는 배수로(측구)가 설치되어 있으며, 상단(1단)의 토공 경사면에서 배출되는 지표수 등을 원활하게 배수토록 설치되어 있는 상태이다. 상단의 배수로는 옹벽의 시점 및 종점부의 측구로 시공되어 있는 상태이다. 본 패널식 옹벽 상단부는 토공의 성토사면으로 이루어져 있으며, 급격한 사면구배의 변화 및 사면손상 등은 없는 것으로 조사되었다.

【사진 11.3.3】 주변영향인자 전경

2) 조사결과

- 주변영향인자에 대한 현장조사 결과, 손상이 없는 양호한 상태로 조사되었으며, 상부 성토부, 도로 포장부에도 성토부 내의 침식, 유실 등의 손상이 없는 상태로서 전반적으로 양호한 상태를 유지하고 있는 것으로 조사되었다.

【표 11.3.7】 주변영향인자 손상현황

구분	상태양호	
S1	-	-
S2	-	-
S3	-	-
S4	-	-
S5	-	-
S6	-	-
S7	-	-
합계	-	-

현 황	• 상부 성토부 상태현황	현 황	• 상부 성토부 상태현황
원 인	• –	원 인	• –
대 책	• –	대 책	• –
현 황	• 상부 성토부 상태현황	현 황	• 상부 성토부 상태현황
원 인	• –	원 인	• –
대 책	• –	대 책	• –
현 황	• 배수시설 상태현황	현 황	• 배수시설 상태현황
원 인	• –	원 인	• –
대 책	• –	대 책	• –

현 황	• 상부 도로 상태현황	현 황	• 상부 도로 상태현황
원 인	• –	원 인	• –
대 책	• –	대 책	• –

3) 기 정밀안전점검과의 결과 비교

■ 전회 점검과 비교결과, 손상이 없는 양호한 상태로 확인되었고, 금회 점검에서 추가적인 신규 손상은 조사되지 않았다.

【표 11.3.8】 주변영향인자(배수시설 및 사면상태) 기 정밀안전점검과의 결과 비교

구분	손상 내용	단위	2023년 정밀안전점검		2025년 정밀안전점검		증·감 (▲, ▼)	비고
			물량	개소	물량	개소		
주변영향인자 (배수시설 및 사면상태)	상태양호	–	–	–	–	–	–	변동없음

4) 검토의견

■ 주변영향인자에 대한 현장조사 결과, 배수시설 상부 배수로에 손상이 없는 양호한 상태로 확인되었고, 상부 성토부, 도로 포장부에도 성토부 내의 침식, 유실 등의 손상이 없는 상태로 전반적으로 양호한 상태를 유지하고 있는 것으로 조사되었으나 주기적인 점검을 통하여 손상 발생 여부 확인 등의 유지관리가 필요할 것으로 사료된다. 또한 옹벽 상부 및 전면에 전체적으로 과도한 식생이 산재하여 원활한 유지관리 및 점검을 위한 정비가 필요하다.

라. 옹벽 점검시설

1) 부재의 개요

- 패널식 옹벽 11에 별도의 점검시설은 시공되어있지 않은 것으로 확인되었다.

마. 공중이 이용하는 부위

공중이 이용하는 부위는 추락방지시설, 도로포장, 도로부 신축이음부, 환기구 등의 덮개가 있다.

1) 추락방지시설

공중이 이용하는 부위 중 추락방지시설은 미설치된 상태이다.

2) 도로포장

공중이 이용하는 부위 중 도로포장은 “현장조사 결과 – 주변영향인자”에 기입된 사항으로 대체하였다.

3) 도로부 신축이음부

공중이 이용하는 부위 중 도로부 신축이음부는 미설치된 상태이다.

4) 환기구 등의 덮개

공중이 이용하는 부위 중 환기구 등의 덮개는 미설치된 상태이다.

바. 옹벽의 공중이용시설 유해 · 위험요인(10대) 위험요소 점검결과

1) 개요

- 공중이용시설의 중대시민재해 유발 가능성이 높은 유해 · 위험요소를 선정하여 집중관리 함으로써 국민의 안전을 도모한다.

【표 10.3.9】 공중이용시설 10대 위험요소

구분	유해 · 위험요인	비고
낙하물	① 교각 코핑 콘크리트 탈락 ② 중분대 하면 콘크리트 낙하 ③ 배수관 낙하사고 ④ 고드름 낙하사고	
화재	⑤ 주유소 및 충전소 화재사고	
교량접속부 파손	⑥ 신축이음장치 솟음(Blow-up)	
포장불량	⑦ 교면포장 부분보수부 파손	
배수시설 기능저하	⑧ 교량 집수구 막힘(미끄럼 · 결빙)	
사면붕괴	⑨ 절토사면 · 옹벽 표면 손상	
콘크리트 열화	⑩ 터널 배수구 뚜껑파손	

2) 현장조사 결과

- 본 과업대상 패널식 옹벽 11은 상주영천고속도로 본선 하부에 시공되어 있는 옹벽이다.
- 중대시민재해를 유발할 수 있는 위험요소로 사면붕괴 등 항목이 해당된다.
- 공중이용시설 10대 위험요소 중 옹벽에 해당하는 항목에 대한 점검결과, 중대시민재해 사고가 우려되는 이상징후는 발견되지 않아 중대한 결함은 없는 것으로 조사되었으나 전면부 판넬 파손, 실란트 열화 등의 손상이 확인되었다.
- 점검일 현재는 중대결함이 없는 비교적 양호한 상태이지만 향후, 소형결함으로도 재해 발생 가능성이 있으므로 유해 · 위험요인이 있는 취약시설물에 대한 중점관리 및 예방 차원의 보수 · 보강 등의 유지관리가 필요하다.

구분	유해 · 위험요인	점검결과	내용	보수방안	비고
1	절토사면 · 옹벽 표면 손상	▣유, □무	판넬 파손, 실란트 열화	주의관찰, 실란트 재시공	

S5 판넬 파손(0.2x0.1)	S6 판넬 파손(0.1x0.1)
S6 실란트 열화(L=4.50m)	S7 판넬 파손(0.1x0.1)
주변영향인자(성토부, 상부 도로) 상부 성토부 상태현황	주변영향인자(성토부, 상부 도로) 상부 도로 포장 상태현황

【사진 11.3.4】 옹벽의 공중이용시설 10대 위험요소 손상현황

11.3.3 현장조사 결과 요약

가. 결과요약

【표 11.4.10】 현장조사 결과 요약

구 분	점검 결과	보수·보강 방안
전면부	판넬 파손	주의관찰
	실란트 열화	실란트 재시공
주변영향인자	상태양호	-
기초부의 세굴	상태양호	-
결과요약	■ 지반, 기초부에 대한 현장조사 결과, 점검 당시에 침하, 활동, 전도 등 구조적인 손상결함 및 세굴이 없는 양호한 상태로 신규 손상 등은 조사되지 않았으나 주기적인 점검을 통하여 지반, 기초부의 손상발생 여부 확인 등의 유지관리가 필요할 것으로 사료된다. ■ 전면부에서 조사된 판넬 파손의 경우 외부충격 등에 의한 손상으로 손상의 정도가 경미하여 구조적인 영향을 미치는 손상은 아니다. 이에 즉각적인 보수를 실시하기 보다는 주기적인 점검을 통한 손상의 진전여부를 확인하는 유지관리를 실시하고 손상의 진전시 단면보수 등의 보수를 실시하는 것이 바람직할 것으로 사료된다. ■ 조사된 실란트 열화의 경우 공용기간 증가에 의한 열화 손상이며, 실란트 재시공 등 보수를 실시하고 손상의 재발생 여부를 확인하는 유지관리가 필요하다. 또한 옹벽 상부 및 전면에 전체적으로 과도한 식생이 산재하여 원활한 유지관리 및 점검을 위한 정비가 필요하다. ■ 주변영향인자에 대한 현장조사 결과, 배수시설 상부 배수로에 손상이 없는 양호한 상태로 확인되었고, 상부 성토부, 도로 포장부에도 성토부 내의 침식, 유실 등의 손상이 없는 상태로 전반적으로 양호한 상태를 유지하고 있는 것으로 조사되었으나 주기적인 점검을 통하여 손상발생 여부 확인 등의 유지관리가 필요할 것으로 사료된다. 또한 옹벽 상부 및 전면에 전체적으로 과도한 식생이 산재하여 원활한 유지관리 및 점검을 위한 정비가 필요하다.	

【표 11.4.11】 손상내용 총괄표

구 분	손상 내용	단위	물량	개소	비고
전면부	판넬 파손	㎡	0.04	3	
	실란트 열화	m	4.50	1	
배수시설	상태양호	–	–	–	
상부성토부	상태양호	–	–	–	
기초부	상태양호	–	–	–	

나. 기 정밀안전점검과의 비교

【표 11.4.12】 전차대비 손상수량 증감표

구 분	손상 내용	단위	2023년 정밀안전점검		2025년 정밀안전점검		증,감 (▲, ▼)	비고
			물량	개소	물량	개소		
전면부	판넬 파손	㎡	0.01	1	0.04	3	▲ 0.03	신규손상
	실란트 열화	m	–	–	4.50	1	▲ 4.50	신규손상
배수시설	상태양호	–	–	–	–	–	– –	변동없음
상부성토부	상태양호	–	–	–	–	–	– –	변동없음
기초부	상태양호	–	–	–	–	–	– –	변동없음

11.4 콘크리트 재료시험 조사

11.4.1 개요

콘크리트 재료시험 조사는 구조물에 열화손상이 이미 현저하게 진행되었을 경우 열화의 정도 및 그 원인 관계를 조사하고 보수·보강 여부를 판정하며, 아직 열화손상이 없거나 경미한 구조물은 내구성조사에 의해서 향후 열화 경향을 예측하고 예방보전을 검토하기 위한 자료를 수집하는 것을 목적으로 한다.

본 과업의 내구성조사는 [시설물의 안전 및 유지관리 실시 세부지침[안전점검·진단편](이하 '세부지침')] 옹벽편 13.3.1에 따른 기준수량 및 조사수량에 근거하여 시험방법, 시험빈도 및 평가방법 등을 실시하였다.

11.4.2 조사현황 및 위치도

가. 조사현황

금회 점검에서 대상 구조물에 대한 재료시험 위치선정은 이전 시험과의 정확한 비교를 위해 기존 정밀안전점검 보고서를 참고하여 비교·검토할 수 있도록 하였으며, 콘크리트 강도시험의 경우 건전부와 비건전부의 비교·검토를 위하여 외관상 균열, 박리 등의 유무의 따라 양호한 부위와 불량한 부위를 선정하여 시험을 실시하였다. 본 과업에서 콘크리트 내구성조사를 위해 콘크리트 강도시험(반발경도시험), 탄산화깊이 측정 등을 실시하였으며, 각 부재별 콘크리트 비파괴시험 현황은 다음과 같다.

【표 11.4.1】 재료시험 기준수량 및 실시수량 현황

항 목	기준수량	수 량(개소)		비 고
		기준	실시	
측량	◦ 옹벽의 선형측량 및 수준측량	–	–	
반발경도시험	◦ 총수량 = (총 연장 ÷ 50m)개소	3	3	
탄산화깊이 측정	<총 연장> ◦ 100m 미만: 2개소 ◦ 100m 이상: 최소 2개소 + 100m 당 1개소 추가	3	3	

반발경도측정	탄산화 깊이측정

【사진 11.4.1】 재료시험 조사 전경

나. 콘크리트 재료시험 조사 위치도

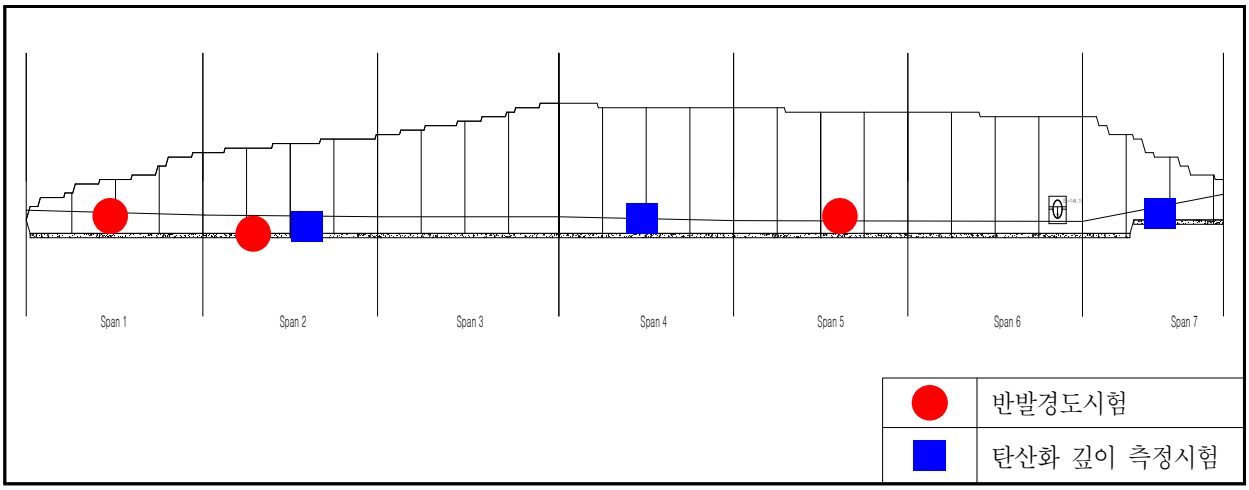

【그림 11.4.1】 콘크리트 재료시험 조사 위치도

11.4.3 반발경도시험

가. 시험결과

반발경도 측정은 콘크리트 표면의 요철, 부착물에 이물질을 그라인딩으로 제거하고 실시하였으며, 표면에 곰보, 공극, 노출된 자갈이 있는 부위들은 측정위치에서 제외하였고, 반발경도 값은 각 측정부재에 따라 타격방향, 표면의 건습상태, 재령에 의한 보정을 한 후 콘크리트 강도를 추정하였다.

또한, 반발경도에 의한 압축강도 추정은 보통 콘크리트는 일본건축학회식과 일본재료학회식를 사용하였고, 고강도 콘크리트는 과학기술부식과 한국시설 안전공단식을 사용하였으며, 측정결과는 정밀한 결과를 산정하기 위해 2개 이상의 추정식을 통해 추정된 콘크리트 비파괴강도 중 표준편차와 변동계수가 적은 값을 적용하였다. FMS상에 패널식 옹벽 11의 안전점검종합보고서 자료에서 설계기준강도를 확인하여 작성하였다.

【표 11.4.2】 콘크리트 비파괴강도 시험결과

시험위치			반발경도법(MPa)			재령계수	설계기준강도 (MPa)	비고
			반발경도 (R_o)	일본재료학회	일본건축학회			
전면부	S1	패널	55.5	33.0	31.2	0.63	30.0	건전부
	S2	패널	55.7	33.2	31.3			건전부
	S6	패널	55.6	33.1	31.2			비건전부
평균			-	33.1	31.2	-	-	
표준편차			-	0.06	0.03	-	-	
변동계수			-	0.002	0.001	-	-	
최대값			-	33.2	31.3	-	-	
최소값			-	33.0	31.2	-	-	

【표 11.4.3】 비파괴강도 시험결과 분석

시험위치	압축강도(MPa) 추정	설계기준강도 (MPa)	평균 추정강도 (MPa)	강도비교 (%)	비고
	일본건축학회				
전면부 패널	31.2 ~ 31.3	30.0	31.2	104.0 ~ 104.3	

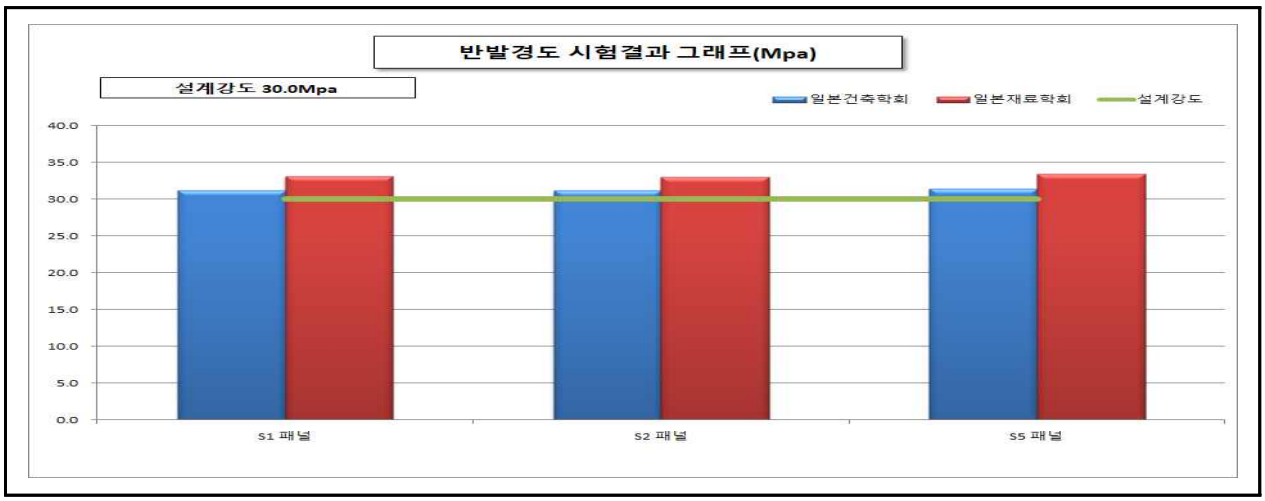

【그림 11.4.2】 반발경도시험 측정결과

- 반발경도법에 의한 압축강도 측정결과 31.2~31.3㎫로 측정되었으며, 설계기준압축강도(30.0㎫)를 100%이상 상회하는 것으로 확인되었고, 건전부와 비건전부의 강도를 비교 및 검토한 결과, 비건전부의 강도가 건전부의 99.8%이상으로 큰 차이가 없는 것으로 분석되었다. 따라서 콘크리트의 내구성능은 양호한 상태인 것으로 판단되며, 콘크리트 강도는 공용년수 경과에 따른 강도저하가 없는 것으로 조사되었다.

나. 기 점검결과와의 비교분석

전회 정밀안전점검에서 실시한 강도 값과 비교한 결과, 측정 부위 등의 차이에 따른 근소한 편차가 확인되었으며, 강도 값이 설계강도를 상회하는 양호한 수준으로 확인되어 강도저하와 관련된 문제점은 없는 것으로 확인되었다.

【표 11.4.4】 기 점검결과와의 결과 비교

구 분	위치	2023년 정밀안전점검	2025년 정밀안전점검	설계기준강도
반발경도법	전면부 패널	31.4 ~ 35.4	31.2 ~ 31.3	30.0
검토의견		▪기존 및 금회 측정값 비교 분석 결과 추정식 및 측정 부위에 따라 다소 차이는 있지만, 설계기준강도를 전반적으로 상회하므로 콘크리트의 강도상태는 양호한 것으로 판단된다.		

다. 반발경도 시험 보고서

【표 11.4.5】 반발경도 시험 보고서

반발경도시험 보고서	
1. 시험조건	
구 분	내 용
시험 일자 및 시간	일자 : 2025. 08. 26. 시간 : 09:00 ~ 17:00
시험 위치	시험 성과표의 위치명 및 재료시험 위치도 참조
시험 대상 구조물	패널식 옹벽 11
시험 대상 표본 선정	재료시험 수량에 따라 표본 선정
콘크리트 설계 조건 (강도, MPa)	전면부 패널 : 30.0MPa
시험 위치의 표면 상태	건전부 :균열, 박리 등이 없는 양호한 부위 대상 표면정리(요철제거) 비건전부 : 균열, 박리 등이 있는 불량한 부위 대상 표면정리(요철제거)
시험시의 온도 및 콘크리트의 재령	26.4℃, 3000일 이상
콘크리트 내부의 함수 상태	기건 상태
2. 시험기기	
구 분	내 용
측정기의 종류	NR-Type(NR-10)
제품번호	28191
시험기기의 교정	한국산업기술시험원 교정(엔빌테스트 : 80±2)
3. 시험 방법	
구 분	내 용
반발경도 타격점 간격 및 수량	4 × 5, 20회 타격(30mm 간격)
반발경도 측정기의 타격방향	시험 성과표 참조
반발경도 유효값 기준	측정 평균치의 ±20% 범위 내
시험 부위별 반발경도의 평균값	시험 성과표 참조
버린 반발경도의 값 및 위치	시험 성과표 참조
4. 시험결과	
시험 성과표 참조	

11.4.4 탄산화 깊이 측정

가. 시험결과

탄산화 깊이 측정은 드릴링을 통한 천공 후 지시약을 사용하여 적색으로 변색되는 시점을 탄산화깊이로 정하였으며, 버니어캘리퍼스를 이용하여 그 깊이를 측정하였다. 피복두께는 철근탐사기를 이용하여 피복두께를 확인 후, 설계피복과 비교하여 작은 값으로 선정하였다.

【표 11.4.6】 탄산화 깊이 측정결과 및 평가

시험위치	탄산화 깊이 (㎜)	피복두께 (㎜)	탄산화 잔여깊이 (㎜)	경과 년수	탄산화 속도계수 (A)	잔존 수명 (년)	평가 결과	비 고
S2 전면부패널	3.0	68.0	65.0	8	1.06	100년 이상	a등급	
S4 전면부패널	3.0	68.0	65.0	8	1.06	100년 이상	a등급	
S7 전면부패널	3.0	72.0	69.0	8	1.06	100년 이상	a등급	

【표 11.4.7】 탄산화 시험결과 분석

구 분	탄산화 깊이(㎜)	잔여깊이(㎜)	비고
전면부 패널	3.0	65.0~69.0	

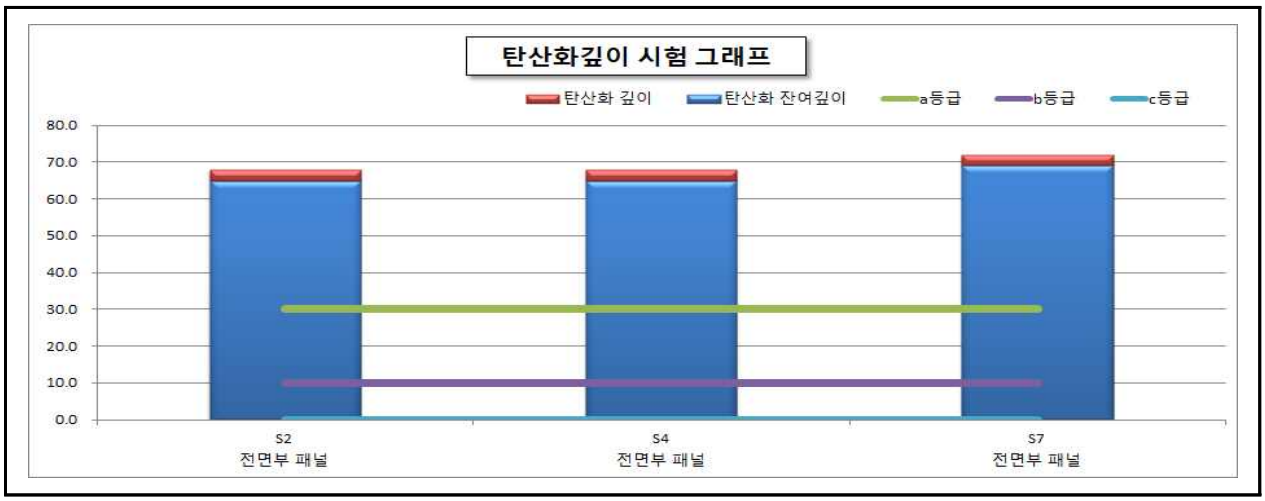

【그림 11.4.3】 탄산화 깊이 측정결과

■ 금회 점검에서 탄산화시험은 총 3개소 시험을 실시하였으며 분석 결과, 전개소 모두 “탄산화에 의한 부식발생 우려 없음” 인 ‘a’ 등급으로 평가되었고 100년 이상의 잔존수명을 확보하여 공용상의 문제는 없을 것으로 판단된다.

나. 기 점검결과와의 비교분석

금회 시행한 탄산화 깊이시험이 최초 시험으로 확인되었으며, 금회 점검에서 조사된 결과를 종합적으로 고려할 때, 현재의 탄산화 수준은 구조물의 내구성에 영향을 미치지 않는 범위이다. 따라서 향후 수년간은 별다른 성능 저하 없이 안정적인 상태가 유지될 것으로 판단된다.

【표 11.4.8】 기 점검결과와의 결과 비교

구 분	2023년 정밀안전점검			2025년 정밀안전점검			비 고
	탄산화깊이 (㎜)	잔여깊이 (㎜)	평가 결과	탄산화깊이 (㎜)	잔여깊이 (㎜)	평가 결과	
패널(전면부)	-	-	a	3.0	65.0~69.0	a	
검토의견	■금회 시행한 탄산화 깊이시험이 최초 시험으로, 금회 시험결과 양호한 상태로 확인되어 향후 수년간은 안정적인 상태가 유지될 것으로 판단된다.						

다. 탄산화 시험에 의한 내구성 예측

국토안전관리원에서 시행하고있는 시설물 내구성 예측 서비스를 활용하여 공용년수 증가에 따른 탄산화의 향후 추이를 예측해 보았다. 상촌교의 상하부 구조를 대상으로 내구성 예측 서비스를 활용하여 100년 후 탄산화 깊이 및 탄산화 속도계수를 예측하였으며, 그 결과는 아래 표와 같다.

【표 11.4.9】 탄산화 시험에 의한 내구성 예측

전면부 – 패널 S2	
실측 피복두께(㎜)	68.0
탄산화 진행깊이(㎜)	3.0
잔여깊이(㎜)	65.0
탄산화 속도계수	1.06
공용년수	8년
잔존수명	100년 이상
평가	a

전면부 – 패널 S4	
실측 피복두께(㎜)	68.0
탄산화 진행깊이(㎜)	3.0
잔여깊이(㎜)	65.0
탄산화 속도계수	1.06
공용년수	8년
잔존수명	100년 이상
평가	a

【표 11.4.9】 탄산화 시험에 의한 내구성 예측(계속)

전면부 - 패널 S7	
실측 피복두께(㎜)	72.0
탄산화 진행깊이(㎜)	3.0
잔여깊이(㎜)	69.0
탄산화 속도계수	1.06
공용년수	8년
잔존수명	100년 이상
평가	a

다. 탄산화 시험 보고서

【표 11.4.10】 탄산화 시험 보고서

구 분	내 용
시험일자	2025년 08월 26일
시험시간	09:00 ~ 17:00
시험 영역의 위치	전면부 패널
골재 종류	보통골재(추정)
측정면의 종류	햄머드릴을 이용해 뚫어낸 면
시약	페놀프탈레인 1% 용액
측정 기구	탄산화시험 Set, 버니어 캘리퍼스
시약 분무로부터 탄산화 깊이까지의 시간	즉시
측정결과(측정값, 평균값, 최대값 등)	부록 참조
연한 적자색 변색 유무	유

11.4.5 콘크리트 내구성조사 결과 요약

【표 11.4.11】 내구성조사 결과요약

시 험 명	시험부위	시험 결과		비 고
		측정결과	설계기준 (평가등급)	
비파괴 강도 (㎫)	패널(전면부)	31.2 ~ 31.3	30	■설계강도 이상(양호)
탄산화 잔여깊이 (㎜)	패널(전면부)	65.0~69.0	a등급	■탄산화 잔여깊이 30㎜ 이상 ■탄산화에 의한 철근 부식발생 가능성 없음
종합 평가	• 콘크리트 강도는 설계강도 이상으로 양호한 상태로 평가됨 • 탄산화에 의한 철근 부식발생 가능성은 없는 상태임			

11.4.6 측량

가. 개요

금회정밀안전점검 대상시설물(패널식 옹벽 10)은 광파기, 클리노미터, 경사계 등을 이용하여 선형 및 수준측량, 경사도를 측정을 하였으며, 전차 정밀안전점검의 측정된 값과 금회 정밀안전점검의 측정값을 비교 검토하여 침하 및 활동에 대해 검토하였다.

【사진 11.4.2】 측량작업 전경

나. 경사도 측정결과

설계도서 및 초기점검과 비교하여 검토한 결과, 측량결과 값에 미소한 차이가 확인되었으며, 이는 측량기기 오차, 측량기기 사용 종류 및 측정위치의 차이와 측량시 발생할 수 있는 오차내로서, 검토한 결과 침하, 전도, 활동에 의한 문제는 없는 것으로 검토되었고, 전회 점검과의 비교값 또한 측정 위치에 의한 차이는 있지만 사용성에 영향을 미칠만한 차이는 아닌 것으로 확인되었다.

【표 11.4.12】 경사도 결과

구분	측정위치 (Span)	측정경사량		초기점검 경사량		계획선형오차		안전등급	설계값 대비
		경사도 (°)	기울기 (%)	경사도 (°)	기울기 (%)	경사도 (°)	기울기 (%)		
1	S1	89.40	1.05	89.90	0.17	−0.50	0.87	a	배면
2	S2	89.80	0.35	90.10	−0.17	−0.30	0.52	a	배면
3	S3	89.60	0.70	89.40	1.05	0.20	0.35	a	전면
4	S4	89.30	1.22	89.50	0.87	−0.20	0.35	a	배면
5	S5	89.50	0.87	89.70	0.52	−0.20	0.35	a	배면
6	S6	89.70	0.52	−	−	−	−	−	−
7	S7	89.70	0.52	90.00	0.00	−0.30	0.52	a	배면

※ 주) 측정값의 (+)부호는 옹벽 전면부측 기울기, (−)값은 옹벽 배면부측 기울기를 의미함

【표 11.4.13】 경사도 기 정밀안전점검과의 결과 비교

구분	측정위치 (Span)	2025년 정밀안전점검 측정경사량		2023년 정밀안전점검 측정경사량		측정결과 비교		안전등급	전회 점검 대비
		경사도 (°)	기울기 (%)	경사도 (°)	기울기 (%)	경사도 (°)	기울기 (%)		
1	S1	89.40	1.05	89.20	1.40	0.20	0.35	a	전면
2	S2	89.80	0.35	90.00	0.00	−0.20	0.35	a	배면
3	S3	89.60	0.70	89.80	0.35	−0.20	0.35	a	배면
4	S4	89.30	1.22	89.60	0.70	−0.30	0.52	a	배면
5	S5	89.50	0.87	89.70	0.52	−0.20	0.35	a	배면
6	S6	89.70	0.52	89.70	0.52	0.00	0.00	a	−
7	S7	89.70	0.52	89.90	0.17	−0.20	0.35	a	배면

※ 주) 측정값의 (+)부호는 옹벽 전면부측 기울기, (−)값은 옹벽 배면부측 기울기를 의미함

다. 선형 및 수준 측량결과

금회 점검에서 측량은 본 옹벽의 상단 및 전면부에 과도한 식생이 산재하여 현장에서 측정이 가능한 위치를 선정하여 선형 및 수준측량을 실시하였고, 설계도서 및 전회 정밀안전점검과 비교하여 검토한 결과, 측량결과 값에 미소한 차이가 확인되었으며, 이는 주변환경, 측량기기 오차, 측량기기 사용 종류의 차이와 측량시 발생할 수 있는 오차내로서, 전회 점검의 선형 측량을 금회 선형측량과 대조하여 검토한 결과 침하, 전도, 활동에 의한 문제는 없는 것으로 검토되었다.

【표 11.4.14】 수준측량(수직변위) 결과

측정위치	기준점 레벨(EL(+).m)		분석 결과 (m)	비고
	설계치	금회 정밀안전점검		
S1(20m)	149.83	−	−	식생
S2(40m)	150.86	150.72	−0.06	
S3(60m)	152.66	152.52	−0.14	
S4(80m)	152.40	152.31	−0.09	
S6(100m)	152.14	152.10	−0.04	
S7(120m)	151.89	151.88	−0.01	
S8(136.9m)	148.29	−	−	식생

【표 11.4.15】 선형측량 결과

측정위치	X	Y	비고
①	384690.953	178262.317	
②	384699.374	178276.997	
③	384708.150	178295.080	
④	384717.000	178311.800	
⑤	384725.733	178335.700	
⑥	384737.901	178372.093	
⑦	384738.910	178378.700	
⑧	384739.440	178387.010	

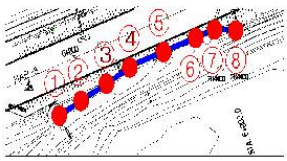

[선형측량 결과]

[선형측량 결과 비교]

【그림 11.4.4】 선형측량 결과 및 비교

11.5 상태평가

11.5.1 구간분할

금회 구간분할을 기준으로 20m를 1구간으로 구분하여 분할하였고, 대상 시설물의 조사결과 및 현황을 토대로 “시설물의 안전 및 유지관리 실시 세부지침, 옹벽편(2024.12, 국토안전관리원)”의 기준에 따라 상태평가기준을 적용하였다.

【표 11.5.1】 상태평가 결과 산정

SPAN NO.	침하	계획 선형 오차	활동	전면부 진행성 배부름	파손 손상 및 균열	유실	이격	세굴	주변영향인자				결함 점수 합계	평가 단위 결함 지수	평가 단위 평가 등급
									배수 시설	사면조사					
										사면 구배	낙석 흔적	침출수			
S1	0	0	0	0	0	0	0	0	0	0	0	0	0	0.00	a
S2	0	0	0	0	0	0	0	0	0	0	0	0	0	0.00	a
S3	0	0	0	0	0	0	0	0	0	0	0	0	0	0.00	a
S4	0	0	0	0	0	0	0	0	0	0	0	0	0	0.00	a
S5	0	0	0	0	1	0	0	0	0	0	0	0	1	0.02	a
S6	0	0	0	0	1	0	0	0	0	0	0	0	1	0.02	a
S7	0	0	0	0	1	0	0	0	0	0	0	0	1	0.02	a
평균	0.00	0.00	0.00	0.00	0.40	0.00	0.00	0.00	0.00	0.00	0.00	0.00	0.40	0.01	a
									상태평가 결과					A	

11.5.2 상태평가 결과

상태평가 결과, 평가기준에 따른 결함지수는 0.01로서 평가결과는 “A”로 산정되었다.

11.5.3 공중이 이용하는 부위 상태평가

① 추락방지시설

미설치된 상태로 평가불가.

기준	상태기준 설명
a	ㅇ손상 및 결함 등이 없는 최상의 상태
b	ㅇ추락방지시설에 경미한 결함 및 파손이 발생하였으나, 기능에는 문제가 없으며 결함의 진행 여부를 지속적으로 관찰하고 보수 여부를 결정해야 하는 상태
c	ㅇ추락방지시설에 결함 및 파손으로 인하여 기능에 일부 문제가 발생하여 간단한 보수가 필요한 상태
d	ㅇ고정부 및 연결부 파손 등으로 인해 추락방지시설의 전도 및 이탈이 발생 할 수 있어 즉각적인 보수·보강이 필요한 상태
e	ㅇ추락방지시설의 전반적 기능저하로 사용자의 안전에 위험이 있어 즉각 사용을 금지해야 하는 상태

② 도로포장

최상의 상태로 “a” 등급으로 평가됨.

기준	상태기준 설명
a	ㅇ포장상태가 최상으로 차량의 주행에 문제가 없는 상태
b	ㅇ포장의 결함 및 파손이 미미하게 발생된 상태로 차량주행에 문제는 없으며 결함의 진행 여부를 지속적으로 관찰하고 보수 여부를 결정하여야 하는 상태
c	ㅇ포장 결함 및 파손이 차량에 직접적인 파손을 유발할 정도는 아니나 차량 운전자에게 불쾌감을 유발할 수 있어 간단한 보수가 필요한 상태
d	ㅇ깊이 8cm이상의 포트홀에 의해 차량에 심각한 손상이 발생할 수 있어 즉각적인 보수가 필요한 상태 ㅇ배수불량으로 인한 주행차로 상시 물고임으로 통행차량의 안전성 저하가 우려되는 상태
e	ㅇ도로포장 결함 및 파손 정도가 심각하고 차량주행이 불가하여 차량통행 제한 및 사용금지가 필요한 상태

③ 도로부 신축이음부

미설치된 상태로 평가불가.

기준	상태기준 설명
a	ㅇ신축이음부에 손상이 없는 상태
b	ㅇ신축이음 본체의 토사 및 이물질 퇴적, 고무판 노후, 후타재의 미세균열이 발생된 상태로 기능발휘에는 지장이 없으며 결함의 진행 여부를 지속적으로 관찰하고 보수 여부를 결정하여야 하는 상태
c	ㅇ신축이음 본체의 유간사이 이물질로 기능불량, 고무판 마모, 국부적인 부식 등의 열화가 발생한 상태 또는 후타재의 균열이 50cm이하의 간격으로 발생하거나, 국부적인 박리, 박락, 파손이 발생하여 간단한 보수가 필요한 상태
d	ㅇ신축유간 밀착으로 인한 거동불량 또는 신축유간이 넓어 차량통행에 지장을 초래할 수 있어 교체가 필요한 상태 ㅇ신축이음의 파손 상태가 심각하여 차량통행 시 충격이 발생하는 등 긴급한 보수·보강이 필요한 상태
e	ㅇ신축이음부 본체 탈락으로 차량주행 시 파손을 유발하거나, 주행 중 사고의 원인이 될 수 있는 상태

④ 환기구 등의 덮개

미설치된 상태로 평가불가.

기준	상태기준 설명
a	ㅇ환기구 등의 덮개가 최상의 상태
b	ㅇ덮개 등(지지구조 철물, 연결재, 걸침턱 등)에 결함 및 파손 등이 발생하였으나, 기능 발휘에는 지장이 없고 기능성에 문제가 없는 상태 ㅇ기능성에 문제가 없어 결함 및 파손에 대해 지속적 관찰이 필요한 상태
c	ㅇ덮개 등(지지구조 철물, 연결재, 걸침턱 등)에 결함 및 파손 등으로 기능에 일부 문제가 발생하여 보수가 필요한 상태
d	ㅇ덮개 등(지지구조 철물, 연결재, 걸침턱 등)에 결함 및 파손 등으로 기능이 상실되어 국부적인 교체 및 보강이 필요한 상태
e	ㅇ결함 및 파손 정도가 심각하거나 덮개 등이 탈락된 상태

11.5.4 기 정밀안전점검과의 비교

전회 정밀안전점검의 자료조사 결과, 기존손상인 전면부 판넬 파손 손상이 확인되었고, 금회 점검에서 외부충격, 공용기간 증가, 열화 등에 의한 판넬 파손, 실란트 열화 손상이 추가로 조사되어 결함지수가 ‘0.00’에서 ‘0.01’로 소폭 상승하였으나 안전등급은 ‘A등급’으로 전회 점검과 동일한 상태로 평가되었다.

【표 11.5.2】 기 정밀안전점검과의 비교

구 분	결함지수	등급	비 교
2023년 정밀안전점검	0.00	A	
2025년 정밀안전점검	0.01	A	

11.6 종합평가 및 안전등급 지정

11.6.1 종합평가 결과

본 과업은 정밀안전점검 과업으로서 안전성평가를 실시하지 않은 관계로 상태평가 결과를 종합평가 결과로 갈음하였으며, 그 다음과 같다.

【표 11.6.1】 종합평가 결과

종합평가 결과 산정표				
시설물명	패널식 옹벽 11		표 번 호	[표 11.6.1]
평가구분	결함지수	평가결과	비 고	
상태평가	0.01	A	근거표번호	[표 11.5.1]
안전성평가	-	-	-	-
종합평가	0.01	A	최저등급 적용	
종합평가결과	옹벽의 종합평가 결과 : A			

11.6.2 안전등급 지정

종합평가 결과에 따른 본 옹벽의 안전등급은 『문제점이 없는 최상의 상태』인 **“A등급”**으로 지정하였다.

【표 11.6.2】안전등급 기준

안전등급	시설물의 상태
A (우수)	· 문제점이 없는 최상의 상태
B (양호)	· 경미한 손상, 결함이 발생하였으나 기능 발휘에는 지장이 없으며 내구성 증진을 위하여 일부의 보수와 지속적인 관찰이 필요한 상태
C (보통)	· 보통의 손상, 결함이 발생하였으나 안전성에 지장이 없으며, 내구성, 기능성 저하방지를 위한 보수가 필요하거나 간단한 보강이 필요한 상태
D (미흡)	· 손상, 결함이 진전되고, 파괴 잠재성이 존재하여 긴급한 보수·보강이 필요하며 사용 제한 여부를 결정하여야 하는 상태
E (불량)	· 심각한 손상, 결함 및 파괴 잠재성에 의하여 시설물의 안전에 위험이 있어 즉각 사용을 금지하고 보강 또는 개축을 하여야 하는 상태

11.7 보수·보강 및 유지관리방안

11.7.1 보수·보강 방안

대상 시설물의 손상별 보수방안, 개략공사비는 다음과 같다.

【표 11.7.1】 손상별 보수·보강 방안 및 개략공사비

구분	손상내용	보수방안	손상 물량	보수 물량	단위	단가 (천원)	개략공사비 (천원)	우선 순위
전면부	판넬 파손	주의관찰	-	-	-	-	-	-
	실란트 열화	실란트 재시공	4.50	6.75	m	78	527	2순위
배수시설	상태양호	-	-	-	-	-	-	-
상부성토부	상태양호	-	-	-	-	-	-	-
기초부	상태양호	-	-	-	-	-	-	-
개략공사비 (천원)	구 분	1순위		2순위			3순위	
	순공사비	0		527			0	
	재경비 (순공사비의 50%)	0		264			0	
	합계	0		792			0	
개략공사비 총계(천원)		792						

주1) 보수물량은 손상물량에 50%를 할증하였음.
주2) 0.3mm미만 균열보수는 손상물량(m)×0.25(m)를 하여 면적(㎡)으로 산출하였음.

11.7.2 유지관리방안

본 시설물에 대한 정밀안전점검 결과에 따라, 향후 유지관리 시 옹벽의 안전성, 사용성 및 내구성 차원에서 중점적으로 관찰하고 유의하여야 할 중점유지관리 항목을 설정하여 다음 표와 같이 제시하였다.

【표 11.7.2】 중점유지관리 항목

구 분	중점유지관리 사항	현황 사진
전면부	· 판넬 파손 → 외부충격에 의해 발생한 판넬 파손 손상에 대한 주기적인 점검을 통해 발생규모 및 현황관리를 실시하고, 일정규모 이상 발생할 경우 보수를 통한 관리 필요	
배수시설	· 배수로 균열 발생에 대한 주기적인 점검을 통해 발생규모 및 현황관리를 실시하고, 일정규모 이상 발생할 경우 보수를 통한 관리 필요 · 상부 배수로 설치부에 과도한 식생이 산재하여, 추후 원활한 점검을 위한 정비 등의 조치가 필요	
성토부	· 우수 및 동결융해에 의한 지하수 침투, 식생유실 발생여부를 주기적인 관찰을 통한 확인필요	
지반 및 기초부	· 우수에 의한 기초부 침식, 세굴 등의 손상 발생여부를 주기적인 관찰을 통한 확인필요	

11.8 종합결론

11.8.1 정밀안전점검 결과 요약

가. 현장조사 결과

1) 지반, 기초부

- 지반, 기초부에 대한 현장조사 결과, 점검 당시에 침하, 활동, 전도 등 구조적인 손상결함 및 세굴이 없는 양호한 상태로 신규 손상 등은 조사되지 않았으나 주기적인 점검을 통하여 지반, 기초부의 손상발생 여부 확인 등의 유지관리가 필요할 것으로 사료된다.

2) 전면부

- 전면부에서 조사된 판넬 파손의 경우 외부충격 등에 의한 손상으로 손상의 정도가 경미하여 구조적인 영향을 미치는 손상은 아니다. 이에 즉각적인 보수를 실시하기 보다는 주기적인 점검을 통한 손상의 진전여부를 확인하는 유지관리를 실시하고 손상의 진전시 단면보수 등의 보수를 실시하는 것이 바람직할 것으로 사료된다.
- 조사된 실란트 열화의 경우 공용기간 증가에 의한 열화 손상이며, 실란트 재시공 등 보수를 실시하고 손상의 재발생 여부를 확인하는 유지관리가 필요하다. 또한 옹벽 상부 및 전면에 전체적으로 과도한 식생이 산재하여 원활한 유지관리 및 점검을 위한 정비가 필요하다.

3) 주변영향인자

- 주변영향인자에 대한 현장조사 결과, 배수시설 상부 배수로에 손상이 없는 양호한 상태로 확인되었고, 상부 성토부, 도로 포장부에도 성토부 내의 침식, 유실 등의 손상이 없는 상태로 전반적으로 양호한 상태를 유지하고 있는 것으로 조사되었으나 주기적인 점검을 통하여 손상발생 여부 확인 등의 유지관리가 필요할 것으로 사료된다. 또한 옹벽 상부 및 전면에 전체적으로 과도한 식생이 산재하여 원활한 유지관리 및 점검을 위한 정비가 필요하다.

4) 옹벽 점검시설

- 패널식 옹벽 11에 별도의 점검시설은 시공되어있지 않은 것으로 확인되었다.

5) 공중이 이용하는 부위

- 공중이 이용하는 부위중 도로포장은 본문의 지반, 기초부, 주변영향인자에 기입된 내용으로 대체하였으며, 도로부 신축이음부, 추락방지시설, 환기구 등의 덮개는 미설치된 상태이다.

6) 내구성 시험

- 강도시험결과, 설계기준강도를 상회하는 양호한 상태로 확인되었다.
- 탄산화 깊이 시험 결과, 철근부식의 우려가 없는 양호한 상태로 확인되었다..
- 측량결과, 전회 및 설계도서와 비교하여 검토한 결과, 미소한 차이가 확인되었으며, 측량시 발생할 수 있는 측량기기 오차, 측량기기 사용 종류의 차이와 측량시 발생할 수 있는 오차내로서, 침하, 전도, 활동 등이 발생하지 않은 상태로 판단된다.

나. 상태평가 결과

- 대상 옹벽은 평가기준에 따른 결함지수는 0.01, 상태평가결과는 “A”로 산정되었다.
- 종합평가 결과, 대상시설물의 안전등급은 “A등급 : 문제점이 없는 최상의 상태”으로 지정하였다.
- 금회 조사 시기에는 사용성에 문제는 없는 상태로 판단되나 주기적인 점검을 통한 손상의 증가 및 확대 등에 대해 확인, 조치를 실시하는 유지관리가 필요할 것으로 판단된다.

11.8.2 종합결론, 정밀안전진단 및 사용제한의 필요성 여부

- 지반, 기초부, 전면부, 주변영향인자(사면부, 배수시설)에서 전면부 판넬 파손, 실란트 열화 등의 손상이 조사되었으나 점검당시 옹벽의 사용성에는 영향을 주지 않는 것으로 판단되므로 내구성 증진을 위한 실란트 재시공 등의 적절한 보수 조치와 주기적인 유지관리가 필요하다고 판단된다. 또한, 상부 성토부 및 전면부에 과도한 식생이 산재하여, 추후 원활한 점검 및 옹벽은 안전성을 위한 정비 등의 조치가 필요하다.
- 대상 시설물은 금회 점검 결과, 정밀안전진단 및 사용제한이 필요치 않다.

11.8.3 유지관리 시 특별한 관리가 요구되는 사항

- 금회 조사된 외부충격에 의해 발생한 판넬 파손 손상에 대한 주기적인 점검을 통해 발생규모 및 현황관리를 실시하고, 일정규모 이상 발생할 경우 보수를 통한 관리 필요하다고 판단된다.

11.8.4 기타 필요한 사항

- 시설물의 안전성 유지는 점검 당시에는 양호한 상태로 존재하여도, 이후의 유지관리 상태 및 예기치 않던 외적요인에 의해 잔존해 있던 위험요소가 일시적으로 노출되어 안전성에 영향을 미칠 수 있으므로 지속적인 점검 등의 유지관리를 통해 기능성과 안전성을 유지하는 것이 바람직할 것으로 판단된다.